

33/86

E.N.P

Lex

D^r GENIE CIVIL



CHATEAU D'EAU 1500 m^3
CUVE SOUMISE A
L'ACTION HYDRODYNAMIQUE

PROPOSE Par : C.T.C

ETUDIE Par :

Prom:
CRAI NIC

M. SAÏ
M. Bentahar

PROJET FIN D'ETUDE

Département : GENIE CIVIL.....

Promoteur : M. CRAIK.....

Et avec Ingénieur : M. A. Bensabat..

مصلحة : بلدية

مرجع : ملسم كمبيوتر ..

تلصيذ مهندس : مهندس بن طالب ..

الموضوع: دراسة خزان مائي لـ سعة 1500 m³

الملخص: المشرع الذي قمنا بدراسنته يهدى إلى دراسة العناصر المقاومة في
مائي ذو سعة 1500 m³، طوله الكل إمداد من 17 متر و 35,42 متر
حواليه مخرطة. المقاومة العامة تتم بواسطة عادم الهيدروليكي من خارج
ذو قطر خارجي يعادل 6,00 m. يتم إنجاز هذا الخزان بمديننة الجزائر رعن
منطقة متربطة بالزلزال.

Chateau d'eau (1500 m³) à parois soumises à
l'effet hydrodynamique.

Notre projet consiste à étudier les éléments résistants d'un chateau
d'eau de capacité 1500 m³, à paroi soumise à l'effet
hydrodynamique, de hauteur totale plompe à partir du sol
35,42 m. La cuve est de forme tronconique. Le contreventement
est assuré par un fût (tour) cylindrique de diamètre extérieur
6,00 m. Il sera implanté à Alger (AIN ALLAH) qui est une
zone de moyenne sismicité (zone II)

Project:

Styding of a water Tower.

Abstract:

our object consists of studying the resisting elements of a
water tower.

The total height from the foundation is 35,42 m.
The wind is provided by a cylindrical shaft
having 6,00m in external diameter.

The water tower will be set up in Algiers which is
located in an Area of average seismicity (II)

REMERCIEMENTS

Nous formulons l'expression de notre profonde reconnaissance à Monsieur CRAINC notre promoteur, pour son aide si précieuse et ses conseils éclairés. Nos remerciements vont également aux ingénieurs Hourier et Zagab pour leurs conseils judicieux. Nous exprimons toute notre gratitude à tous les enseignants qui ont contribué, de loin ou de près, à notre formation.

Dedicaces

المدرسة الوطنية المتعددة التقنيات
BIBLIOTHEQUE — المكتبة
Ecole Nationale Polytechnique

Je dedie ce modeste travail en signe de reconnaissance
A la memoire de mon cher et regretté père
A ma mère qui a endurée tant de souffrance et d'angoisse
pour me voir enfin vivre auprès d'elle.
A mes frères et soeurs
A toute ma famille
A toutes mes cousines et tous mes cousins
A tous mes amis
A Noureddine OUAZIT.

SAÏ Mohamed



A la mémoire de mon très cher
et regretté père Allal
A ma chère mère qui a tant
souffert pour me voir enfin
vivre auprès d'elle
A mes frères et soeurs Aïcha, Hadjila,
Fatima, Isaboh, Toufek, Djamil
A mon petit neveu Nabil
A mon ami et frère Touloud
A mon ami et frère Nour-Eddine Ouzit
A mon premier professeur de l'école
Coranique Si-Ali
A tous mes professeurs qui ont
contribué à ma formation
— DPLB. H. S. OZ

SOMMAIRE

chapitre	Page
1— Présentation de l'ouvrage . . .	1
2— Caractéristiques des matériaux . . .	3
3— Avant mètre . . .	7
4— Calcul du réservoir . . .	10
5— Évaluation de la période . . . propre de vibration . . .	27
6— Étude au vent . . .	33
7— Étude sismique . . .	39
8— Étude Hydrodynamique . . .	42
9— Calcul de la Tour . . .	48
10— Fondation . . .	69

Présentation de l'ouvrage

L'ouvrage qui nous a été proposé consiste à l'étude et au calcul d'un château d'eau de 1500 m^3 , de hauteur total comprise à partir du sol 35.42 m.

La tour est constituée d'un voile circulaire d'épaisseur 30cm

Surmontée d'une cuve tronconique d'épaisseur variable.

Le matériaux utilisé : Beton armé

Taux de travail du sol : 3.5 bars.

Description du château d'eau

Le réservoir (cuve) est de type tronconique sur tour (fût) cylindrique. A partir d'une porte métallique placée au pied du fût, l'accès au réservoir se fera par une série d'échelles métalliques à érigolines séparées par des paliers de repos en béton armé situés à l'intérieur du fût.

Dans la hauteur du réservoir, une cheminée intérieure permet l'accès jusqu'à une chambre de visite (lanterneau) placée sur la couverture (coupe sphérique) du réservoir dans laquelle une échelle à érigoline donne l'accès à l'intérieur du réservoir.

La tour transmettra les charges au sol par l'intermédiaire d'un radier circulaire. (Voir schémas ci-après)

Importance du château d'eau

En raison de son emplacement, le château d'eau est un élément important du paysage. Ces constructions étant classé comme ouvrage d'art, le souci esthétique doit être primordial car il est devenu un point capital, une telle construction devant être absolument un œuvre d'art.

Le rôle du réservoir surlevé sert de régulateur à la consommation en eau potable, pendant la période où cette consommation n'excède la production. Il se vide et se remplit aux heures creuses.

Le réservoir doit contenir une réserve d'eau suffisante pour faire face aux besoins instantanés des différents services.

Son vidange instantanée doit être prévu en cas d'avarie grave.

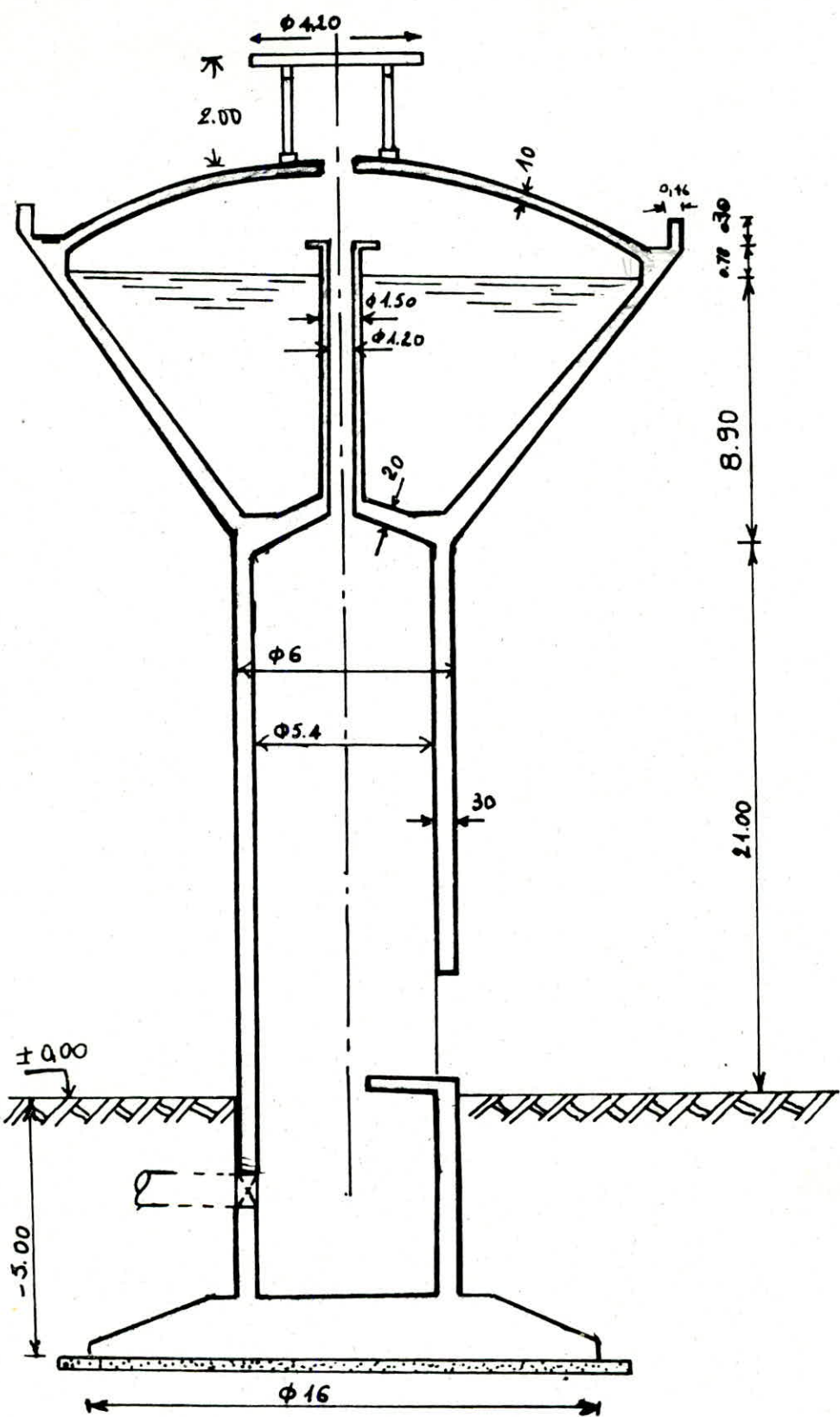
Etanchéité

Les règles imposées par l'hygiène :

(éviter une contamination de l'eau ainsi que l'influence des conditions atmosphériques) nous impose des revêtements intérieur et extérieur.

Les parois de la cuve devront être parfaitement étanches.

-2-



'CARACTÉRISTIQUES'

DES'

MATERIAUX

Béton

on utilisera un béton dosé à 400 kg/m³ de CPA 325
le contrôle sera considéré comme atteint

Contrainte de compression admissible

$$\bar{\sigma}_b' = f_b' \sigma_{28}'$$

σ_{28}' : résistance nominale de compression du béton

$\sigma_{28}' = 300$ bars (béton dosé à 400 kg/m³ de CPA 325)

avec $f_b' = \alpha \cdot \beta \cdot \delta \cdot \varepsilon$

$\alpha \cdot \beta \cdot \delta \cdot \varepsilon$ des coefficients sans dimension

- CPA 325 $\alpha=1$ qui dépend de la classe du ciment utilisé
- Contrôle atteint du béton $\beta = 5/6$
- $h_m/a_{cg} > 1$ $\gamma = 1$
- δ : dépend de la distribution des contraintes dans la section :
 - compression simple $\delta = 0,3$
 - flexion simple et flexion composée quand l'effort normal est une traction $\delta = 0,6$
 - flexion composée quand l'effort normal est une compression $\delta = 0,6$
- ε_0 : l'excentricité de la force externe, au c.d.g de la section complète du béton seul
- e_i : désigne le rayon vecteur, de même signe que ε_0 , du noyau central de cette même section dans le plan radial passant par le centre de pression
- Pour les sollicitations du second genre, les valeurs de δ sont multipliées par 1,5
- Exemple : section annulaire de faible épaisseur, de diamètre moyen D , on aura $e_i = D/4$
 - pour $0.5\varepsilon_0 < 0.75D$ $\delta = 0.3 \left(1 + 1.33 \frac{\varepsilon_0}{D}\right)$
 - pour $\varepsilon_0 > 0.75D$ $\delta = 0.6$
- ε : dépend de la nature des sollicitations et de la forme de la section. Dans tous les cas on prend $\varepsilon = 1$
- Nous obtenons sous SP₂
- compression simple : $\bar{\sigma}_b' = 1.5/6 \cdot 1 \cdot 0,3 \cdot 1 \cdot 300 = 75$ bars
- flexion simple : $\bar{\sigma}_b' = 1.5/6 \cdot 1 \cdot 0,6 \cdot 1 \cdot 300 = 150$ bars

Sous SP₂

- compression simple
- Flexion Simple

$$\bar{\sigma}_{b0} = 1.5 \bar{\sigma}_b (\text{SP}_1)$$

$$\bar{\sigma}_b = 1.5 \bar{\sigma}'_b (\text{SP}_1)$$

$$\bar{\sigma}_{b0} = 112.5 \text{ bars}$$

$$\bar{\sigma}'_b = 225 \text{ bars}$$

Contrainte de traction déréference

$$\bar{\sigma}_b = f_b \bar{\sigma}_{28}$$

$$f_b = \alpha \cdot \beta \cdot \delta \cdot \theta$$

$\alpha \cdot \beta \cdot \delta$: gardent les mêmes significations que précédemment et le même
valeurs également.

$$\theta : 0,018 + \frac{2,1}{\bar{\sigma}_{28}} = 0,018 + \frac{2,1}{300} = 0,025$$

$$\text{d'où : } \bar{\sigma}_b = 1.5/6 \cdot 1 \cdot 0,025 \cdot 300 = 6.25 \text{ bars}$$

- Cette contrainte est relativement faible et difficile à respecter. Le nouveau texte du cahier des charges applicables à la construction des réservoirs et cuves en B.A., établie en 1966 par la chambre syndicale des constructeurs en ciment armé prévoit une contrainte admissible de traction $\bar{\sigma}_b$ égale à :

$$\bar{\sigma}_b = 0 \bar{\sigma}_{28}$$

$\bar{\sigma}_{28} \leq 22$ bars limite de rupture en traction à 28 jours et un coefficient $\theta \geq 1$ qui a pour valeurs :

$$\theta = \begin{cases} 1 & \text{dans le cas de traction simple.} \\ 1 + \frac{e_0}{3 \cdot h} & \text{en flexion composite} \longrightarrow \begin{cases} e_0 : \text{excentricité} \\ h : \text{épaisseur} \end{cases} \\ 5/3 & \text{dans le cas de flexion simple} \end{cases}$$

on se limitera à $\bar{\sigma}_b = 22$ bars

Contrainte de cisaillement admissible

- La contrainte tangente du plan neutre τ_b est donnée par droit de chaque section droite en fonction de la contrainte maximale de compression du béton $\bar{\sigma}_b$, planconitante, sur cette même section droite, par les inégalités suivantes :

$$\begin{aligned} \bar{\sigma}_b &\leq \bar{\sigma}_{b0} \longrightarrow \tau_b \leq 3.5 \bar{\sigma}_b = 21.8 \text{ bars} \\ \bar{\sigma}_{b0} &\leq \bar{\sigma}_b \leq 2 \bar{\sigma}_{b0} \longrightarrow \tau_b \leq (4.5 - \frac{\bar{\sigma}_b}{\bar{\sigma}_{b0}}) \bar{\sigma}_{b0} \end{aligned}$$

on utilisera les aciers :

- A haute adhérence FeE40A, donc $\bar{\sigma}_{en} = 4200 \text{ kg/cm}^2$ pour $\phi \leq 20 \text{ mm}$
 $\bar{\sigma}_{en} = 4000 \text{ kg/cm}^2$ pour $\phi > 20 \text{ mm}$

- Doux (ou ronds lisses) FeE44, donc $\bar{\sigma}_{en} = 2400 \text{ kg/cm}^2 \vee \phi$

Contrainte admissible de traction $\bar{\sigma}_{ai}$

$$\text{Sous SP}_1 : \bar{\sigma}_{ai} = 2/3 \bar{\sigma}_{en}$$

$$\text{Sous SP}_2 : \bar{\sigma}_{ai} = \bar{\sigma}_{en}$$

Sous SP_1	FeE40A	FeE40A	FeE44
	$\phi \leq 20 \text{ mm}$	$\phi > 20 \text{ mm}$	
SP ₁	2800	2670	1600
SP ₂	4200	4000	2400

Fissuration

Afin de tenir compte de la fissuration, la valeur de la contrainte de traction des armatures est limitée à :

$$\bar{\sigma}_a \leq \min \left\{ \frac{\sigma_a}{\max(\sigma_1, \sigma_2)} \right\}$$

$$\sigma_1 = \frac{k_n}{\phi} \frac{w_f}{1+10w_f} : \text{contrainte de fissuration systématique}$$

$$\sigma_2 = 2.4 \sqrt{\frac{m}{\phi} \cdot K \cdot \bar{\sigma}_b} : \text{contrainte de fissuration accidentelle} \rightarrow \sigma_2 > \sigma_1$$

contrainte admissible définitive de l'acier sans présence d'humidité

$\phi (\text{mm})$	5	6	8	10	12	14	16	20	25	32
Aciers doux	1600	1600	1523	1362	1244	1151	1076	964	862	761
Acier H-A	2436	2227	1926	1723	1574	1455	1361	1219	1090	963

ce tableau donnant $\bar{\sigma}_a$ prise par le calcul des éléments non en contact avec l'eau. σ_1 n'est pas à considérer, car elle toujours plus petite que σ_2 .

Paroi du réservoir

La paroi étant constamment en contact avec l'eau, la contrainte admissible de traction est définie par :

$$\bar{\sigma}_a = \min \left\{ \frac{\sigma_a}{\max(\sigma_1, \sigma_2)} \right\}$$

avec : $\sigma_1 = \frac{k_n}{\phi} \frac{w_f}{1+10w_f} + 300\eta$

$$\sigma_2 = 2.4 \sqrt{\frac{m}{\phi} \cdot K \cdot \bar{\sigma}_b} + 300\eta$$

Le terme complémentaire 300η tient compte du fait qu'une des faces des éléments est en contact permanent avec l'eau, le phénomène de gonflement du béton intervient d'une manière favorable en réduisant l'ouverture des fissures. C'est ce qui motive le terme complémentaire 300η .

Valeurs de $\bar{\sigma}_a$ étant inférieur à $\bar{\sigma}_b$, on obtient le tableau donnant $\bar{\sigma}_a = \min(\bar{\sigma}_{a1}, \bar{\sigma}_{a2})$

contrainte admissible de traction de l'acier en présence d'humidité

$\phi (\text{mm})$	5	6	8	10	12	14	16	20	25	32
Acier doux	1600	1600	1600	1600	1544	1451	1376	1264	1162	1061
Acier H-A	2800	2707	2406	2203	2054	1935	1841	1700	1570	1443

Contrainte de compression admissible.

$\bar{\sigma}_a = \frac{2}{3} \sigma_{cn}$ les pièces soumises à la compression simple pour lesquelles l'acier utilisé tel que $\sigma_{cn} < 3300 \text{ kg/cm}^2$

$$\bar{\sigma}'_a = \frac{2}{3} \cdot \frac{\sigma_{cn}^2}{3340}$$

d'où : H.A : $\bar{\sigma}'_a = 2800 \text{ kg/cm}^2$ pour $\phi \leq 20 \text{ mm}$
 $\bar{\sigma}'_a = 2670 \text{ kg/cm}^2$ pour $\phi > 20 \text{ mm}$

Acier doux : $\bar{\sigma}'_a = 1150 \text{ kg/cm}^2$

Contrainte d'adhérence admissible

Zone d'ancrage normale

$$\bar{C}_d = 1.25 \psi_d \bar{\sigma}_a$$

Zone d'ancrage en pleine masse

$$\bar{C}_d = 2 \cdot \psi_d \bar{\sigma}_a$$

ψ_d : coefficient de scelllement et à trois valeurs

Acier H-A

$$\psi_d = 1.5$$

Acier doux

$$\psi_d = 1$$

\bar{C}_d (kg/cm ²)	Acier H-A	Acier doux
Ancrage normal	17.91	7.96
Ancrage en P ^{me} m	28.66	12.74

Recouvrement des barres droites

La fonction de deux barres parallèles identiques est assurée par recouvrement lorsque leurs extrémités se chevauchent sur une longueur l_r

$$l_r = l_d$$

pour $d < 5\phi$

$$l_r = l_d + d$$

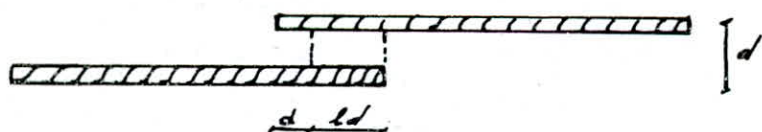
pour $d > 5\phi$

d : distance entre axes des barres

l_d : longueur de scelllement droit

$$l_d = \phi/4 \bar{\sigma}_a/\bar{C}_d \quad \text{en traction}$$

$$l_d = \phi/4 \bar{\sigma}_a/\bar{C}_d \quad \text{en compression} \quad (\text{avec } \bar{\sigma}_a = 85 \text{ MPa})$$



ϕ : étant le diamètre nominal de la barre

AYANT

METRE

$$\phi = 11.076$$

8. Calcul du lancerneau :
 Sur charge explosive de 8 kg/heure 25x25 : $\phi'' = 8(0.25 \times 0.25 \times 1.80) / 25 = 0.22.25$
 Sur charge explosive de la centrale sous palme : $\phi'' = \pi(4^2 - 3.5^2) / 0.22.25 = 11.076$

$$\phi = 8.136$$

9. Calcul de la centrale sous date : $\phi = \pi(3.95^2 - 3.7^2) / 0.2 \cdot 2.5 = 36$

$$D_{\text{ou}} \quad \phi = 2.94 \text{ t/m}^2$$

Sur charge explosive + tension : $\phi'' = 0.176 \text{ t/m}^2$
 Tension chevêtre + enduit : 0.05 t/m^2
 Tension chevêtre : $0.12 \cdot 0.100 \text{ t/m}^2$

$$\phi' = \frac{4}{4} \phi_c \cdot g_0 = \frac{\pi}{4} (4 \cdot 20) \cdot 0.08 \cdot 2.5 = 8.776$$

$$\phi = 4.20 \text{ m}$$

$$e = 0.08 \text{ m}$$

1. surface circulaire

Calcul matriciel pour déterminer les ouvertures

$$V = V_i - (V_2 + V_3) = 1539.70 - (11.08 + 13.08) = 1545.41 \text{ m}^3$$

du volume théorique que souhaite que la courbe est de force par :

Volume souhaité de la courbe

$$\phi = 1.50 \text{ m} \quad h = 7.40 \text{ m}$$

$$V_3 = \frac{4}{4} \phi \cdot h = \frac{4}{4} (1.50)^2 (7.40) = 13.08 \text{ m}^3$$

Volume de la chemise

$$V_2 = 11.08 \text{ m}^3 \quad D = 4.40 \text{ m}$$

Volume du conc de base 4.8.3.1

$$V_i = 1539.70 \text{ m}^3$$

$$V_i = \frac{3}{3} \cdot 8.20 \pi (11.50^2 + 3.20^2 + 11.50 \cdot 3.20)$$

$$h = 8.20 \text{ m}$$

$$r = 3.20 \text{ m}$$

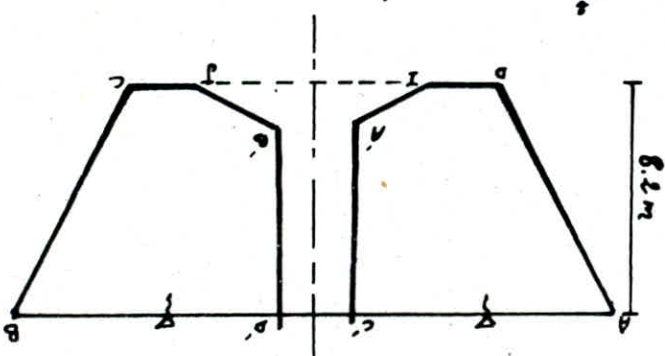
$$R = 11.50 \text{ m}$$

$$V_i = \frac{3}{3} \pi (R^2 + r^2 + R \cdot r)$$

du volume des donnes pour l'expression

Volume du tronc de conc ABCD :

Calcul matriciel du volume utile



3 - Calcul de l'acrotère

$$V_3 = 2\pi \cdot 0.16 \cdot 0.3 \cdot 12.5 = 3.77 \text{ m}^3 \rightarrow f_3 = 3.77 \cdot 2.5 = 9.42 \text{ t}$$

4 - Calcul de la cheminée

$$h = 7.40 \text{ m}$$

$$D = 1.50 \text{ m}$$

$$d = 1.20 \text{ m}$$

$$V = \frac{\pi}{4} h (D^2 - d^2) = 9.71 \text{ m}^3$$

$$f_4'' = 9.71 \cdot 2.5 = 11.78 \text{ t}$$

Etanchéité : $S = \pi d h = \pi \cdot 1.20 \cdot 7.4 = 27.90 \text{ m}^2$

$$f_4''' = 0.05 \cdot 27.90 = 1.39 \text{ t} \rightarrow$$

$$f_4 = 13.17 \text{ t}$$

5 - Calcul du poids de la coupole de couverture :

La coupole sphérique est caractérisée par les paramètres f, r, R . La condition d'équilibre de la membrane (fig ci-dessous) nous permet de calculer ces paramètres.

Condition de coffrage : $\frac{f}{6} \leq f \leq \frac{f}{10}$ avec $r = 2r$ (l'ouverture de la coupole) :
on prend $f = \frac{r}{8} \rightarrow r = 2 \times 11.5 = 23.00 \text{ m}$ d'où $f = \frac{23}{8} = 2.87 \text{ m}$

$$R = \frac{r^2 + f^2}{2f} = \frac{11.5^2 + 2.87^2}{2 \times 2.87} = 24.47 \text{ m}$$

$$\text{Surface de la coupole pleine} : S_1 = 6\pi R f = 441.26 \text{ m}^2$$

$$\text{Surface de la base de la cheminée} : S_2 = \pi D^2 = \pi (3.7)^2 = 9.08 \text{ m}^2$$

$$\text{Surface effective de la coupole} : S = S_1 - S_2 = 441.26 - 9.08 = 432.18 \text{ m}^2$$

$$f_5'' = 432.18 \times 0.1 \cdot 2.5 = 108.20 \text{ t}$$

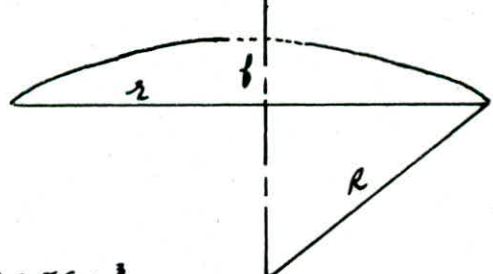
Etanchéité :

$$\text{Surcharge d'exploitation} \dots \dots \dots 100 \text{ kg/m}^2$$

$$\text{Etanchéité multicoche} \dots \dots \dots 100 \text{ " } \rightarrow 0.100 \times 1.2 + 120 = 0.24 \text{ t/m}^2$$

$$\text{Isolation thermique} \dots \dots \dots 20 \text{ " }$$

$$f_5''' = 0.240 \cdot 432.18 = 105.51 \text{ t} \quad \text{d'où} \quad f_5 = 213.56 \text{ t}$$



6 - Calcul de la paroi de la cuve

$$R = 11.7 \text{ m}$$

$$r = 3.7 \text{ m} \quad V_{ABCD} = \frac{\pi}{3} h (R^2 + r^2 + Rr) = 1664.76 \text{ m}^3$$

$$h = 8.2 \text{ m}$$

$$R' = 11.5 \text{ m}$$

$$r' = 3.3 \text{ m}$$

$$h' = 8.6 \text{ m}$$

$$V_{A'B'C'D'} = \frac{\pi}{3} h' (R'^2 + r'^2 + R'r') = 1555.02 \text{ m}^3$$

$$\rightarrow f_c'' = (1664.76 - 1555.02) \cdot 2.5 = 274.35 \text{ t}$$

Etanchéité

$$\text{Enduit étanche} \quad 50 \text{ kg/m}^2$$

$$\text{Isolation thermique} \quad 20 \text{ " }$$

$$S = \pi r (R + r) = \pi 11.6 (11.5 + 3.3)$$

$$= 539.19 \text{ m}^2$$

$$f_c''' = 0.07 \cdot 539.19 = 37.74 \text{ t}$$

$$\text{d'où}$$

$$f_5 = 312 \text{ t}$$

7. Cone de fond:

$$\begin{array}{lll} R_1 = 2.30 \text{ m} & R_2 = 2.00 \text{ m} & V_1 = 11.90 \text{ m}^3 \\ r_1 = 0.75 \text{ m} & r_2 = 0.60 \text{ m} & V_2 = 8.73 \text{ m}^3 \\ h = 1.50 \text{ m} & h = 1.50 \text{ m} & \end{array}$$

$$f_g'' = (11.90 - 8.73) 2.5 = 7.91 \text{ t}$$

Etanchieté: $f_g''' = 0.07 \cdot \pi (2.3 + 0.75) \cdot 2.12 = 1.42 \text{ t}$

$$P_f = 9.33 \text{ t}$$

8. Cinture supérieure:

$$V = 29.98 \text{ m}^3 \quad f_g'' = 74.95 \text{ t}$$

Etanchieté:

$$S = \pi (12.5^2 - 11.7^2) = 60.82 \text{ m}^2 \quad f_g''' = 4.23 \text{ t} \quad \rightarrow P_g = 79.18 \text{ t}$$

9. Cinture inférieure:

$$V = 6.16 \text{ m}^3 \quad f_g'' = 15.40 \text{ t}$$

Etanchieté:

$$S = \pi (3.3^2 - 2.3^2) = 17.59 \text{ m}^2 \quad f_g''' = 1.23 \text{ t} \quad \rightarrow P_g = 16.63 \text{ t}$$

Poids de la tour

La tour comprend le fût + 3 dalles de repos

$$\begin{array}{ll} \text{Poids du fût : } & P_f = 28.5 \cdot \frac{\pi}{4} (8^2 - 5.4^2) \cdot 2.5 = 315.61 \text{ t} \\ \text{Poids des 3 dalles : } & P_d = 3 \cdot \frac{\pi}{4} (5.4^2 - 3.4^2) \cdot 0.1 \cdot 2.5 = 10.35 \text{ t} \end{array}$$

$$P_{t0} = 325.96 \text{ t}$$

Poids de la cuve vide

$$P_v = \sum P_i = 672.50 \text{ t}$$

Poids de la cuve pleine

$$P_p = 672.50 + 1515.41 = 2187.91 \text{ t}$$

Poids total au niveau de la fondation:

$$\text{cuve vide : } P_t = 672.50 + 325.96 = 998.46 \text{ t}$$

$$\text{cuve pleine : } P_t = 998.46 + 1515.41 = 2513.87 \text{ t}$$

$$\text{Surcharge d'escalier + accessoires : } 200 + 100 = 300 \text{ kg/m}^2 \Rightarrow G = 200 \frac{\pi}{4} (5.4^2 - 3.4^2)$$

$$G = 2.76 \text{ t}$$

clône:

$P_{t0} = 1001.22 \text{ t}$
$P_{pt} = 1516.37 \text{ t}$

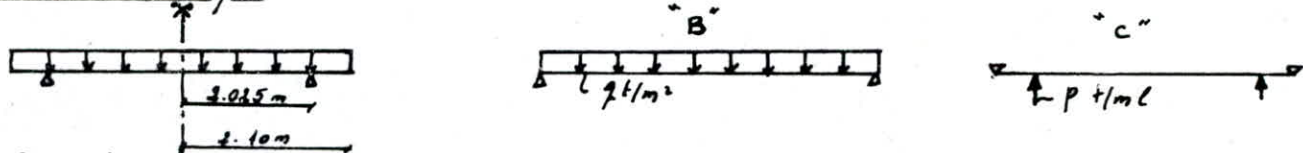
**CALCUL DES
ELEMENTS DE
LA CUVE**

Dalle de couverture du lanternneau

Diamètre 4.30 m
épaisseur 0.08 m

Nous allons calculer la dalle de couverture du lanternneau, comme une plaque circulaire uniformément chargée et appuyée sur une circonference.

Schéma statique



- le cas "C" représente une plaque circulaire appuyée sur son pourtour et soumise à une charge $P/t/m^2$ sur une circonference de rayon 2.025 m
- le cas "B" représente une plaque circulaire appuyée sur son pourtour et chargée uniformément par une charge $q/t/m^2$

Calcul du moment radial dans les deux cas :

cas "C"



$$b: 2.025\text{ m}$$

$$a: 2.10\text{ m}$$

valeur de P

$$q \pi a^2 = \pi b \cdot P$$

$$P = q \frac{a^2}{2b}$$

Valeur de q : on considère seulement la combinaison $G + 1.2 P$

G : charge permanente (poids propre + enroulé)

P : surcharge, on considère la neige comme charge utile.

Pour ALGER : Surcharge normale $P_{n0} = 35 \text{ kg}/\text{m}^2$
Surcharge extrême $P_{\max} = 60 \text{ kg}/\text{m}^2$

$$\text{donc } q = (0.08 \cdot 2.5 + 0.05) + 1.2 \cdot 0.035 = 0.292 \text{ t}/\text{m}^2$$

- Pour le calcul du moment radial, on utilise les formules des plaques "BARÈS" p 425
- Pour $0 \leq r \leq b$ $M_r = \frac{P a}{4} \beta [(1-\mu)(1-\beta^2) - 2(1+\mu) \log \beta]$

$$\beta = b/a$$

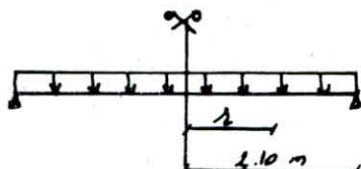
$$\mu = 0.15$$

$$P = q \frac{a^2}{2b}$$

$$M_r = q \frac{a^2}{8} [(1-\mu)(1-\beta^2) - 2(1+\mu) \log \beta]$$

cas "B"

$r = \frac{a}{2}$: r : compté à partir du centre de la plaque



$$M_r = q \frac{a^2}{16} [3 + \mu] (1 - c^2)$$

Valeurs de M_r :

$$\beta = \frac{b}{a} = 0.964$$

$a(\text{m})$	$c: \frac{a}{a}$	Mr ($\text{t} \cdot \text{m}/\text{m}^2$)	
		cas "C"	cas "B"
0	0	0.023	0.253
2.025	0.964	0.023	0.018
2.10	1	0	0

2: Calcul du moment tangentiel : M_T cas "C" partie médiane $a \leq r \leq b$

$$M_T = M_r$$

$$M_T = q \frac{\alpha^2}{\beta} ((1-\mu)(1-\beta^2) - 2(1+\mu)\log \beta)$$

$$Tr = 0$$

partie extérieure $b \leq r \leq a$

$$\beta = \frac{b}{a}$$
$$f = \frac{r-a}{a}$$

$$M_T = q \frac{\alpha^2}{\beta} \left[(1-\mu) \left(2 - \beta^2 \left(\frac{1}{\beta} + 1 \right) - 2(1+\mu) \log \beta \right) \right]$$

cas "B"

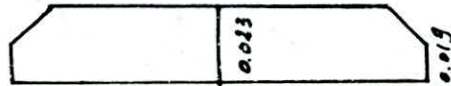
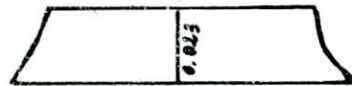
$$M_T = q \frac{\alpha^2}{16} \left[(3+\mu) - (1+3\mu) f^2 \right]$$

valeurs de M_T :

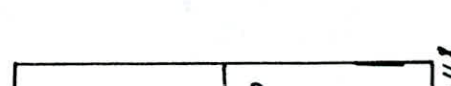
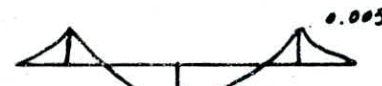
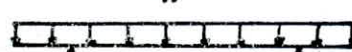
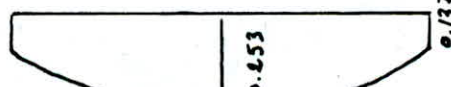
$r(m)$	$\beta = \frac{r}{a}$	M_T (t.m/m)	
		cas "C"	cas "B"
0	0	0.083	0.253
2.025	0.964	0.023	0.145
2.062	0.982	0.021	0.141
2.10	1	0.019	0.137

Superpositions des moments

Cas A = Cas C + Cas B

Somme des moments radiauxSomme des moments tangentiels :

+



0.005

0.137

0.230

0.230

Ferraillage de la dalle circulaireArmatures radiales:Armatures inférieures: Le moment de flexion est $M_r = 0.23$ t.m/m
Pour le calcul on prendra $ht = 8$ cm $\rightarrow h = 5$ cm

Le ferraillage est calculé d'après P. Charron

 $b = 100$ cm $\bar{\sigma}_a = 1723$ kg/cm² pour Ø10 $\bar{\sigma}_b = 150$ kg/cm²

$$\mu = \frac{15 M_r}{\bar{\sigma}_a b h^2} = 0.0801 \rightarrow \epsilon = 0.8830$$

$$\bar{\sigma}_b = 150 \text{ kg/cm}^2$$

$$\Rightarrow A = \frac{0.23 \cdot 10^5}{1723 \cdot 0.8830 \cdot 5} = 3.08 \text{ cm}^2$$

$$\text{Armatures Supérieures: } \mu = \frac{15 \cdot 5 \cdot 10^5}{1723 \cdot 100 \cdot 5^2} = 1.74 \cdot 10^3 \rightarrow E = 0,9808 \quad k = 245$$

$$\text{relai} \Rightarrow A = \frac{5 \cdot 10^2}{1723 \cdot 0,9808 \cdot 5} = 0,059$$

Ainf : 4 T10 / m l	A _{sup} : 4 T10 / m l
--------------------	--------------------------------

Armatures Circulaires: (Cercos)

$$M_p = 0,236 \cdot m / m l \rightarrow h = 4 \text{ cm}$$

$$b = 100 \text{ cm}$$

$$\mu = 0,0083 \rightarrow E = 0,9590$$

$$k = 107$$

$$A = 3,41 \text{ cm}^2 \text{ donc l'armature effective } 5 \text{ T10 / m l}$$

Nota : les armatures radiales et tangentielles (cercos) seront remplacées par un quadrillage pour des raisons pratiques.

Ferraillage des poteaux

non n'oublie l'effet du vent sur ces éléments (poteaux 25x25). Les poteaux sont comprimés sous les charges et sur charges.

charges à prendre en compte : poids de la dalle circulaire . . . P = 8,13 t
poids propres des poteaux . . . P = 2,25 t

contrainte maximale du béton dans chaque poteau

$$\sigma_{b0} = \frac{1,298 \cdot 10^3}{\pi \cdot 25 (170 + 185)} = 0,045 \text{ kg/cm}^2 \ll \bar{\sigma}_{b0}$$

le béton suffit à lui seul pour reprendre l'effort de compression, néanmoins non adoptera une ferraille minimum w = 0,60% → AT14

Cinture supérieure sous la dalle

Elle est soumise au poids de la dalle et son poids propre
poids de la dalle y compris étaubie et plus enduit . . . 5,13 t
poids propre de la cinture . . . 3 t

$$\text{relance } \sigma'_{b0} = \frac{8,13 \cdot 10^3}{\pi \cdot 25 (197,5 + 185)} = 0,27 \ll \bar{\sigma}_{b0}$$

non adoptera une section d'aciéris de 0,25% de la section du béton
A = 0,25 t = 0,25 x 25 = 6,25 cm²

Aciéris Verticaux : 6 T16 / m l

Aciéris (Cercos) : 6 T16 / m l.

La ceinture inférieure sous poteaux comprend le poids de la dalle circulaire
de la ceinture circulaire
des poteaux
propre

$$P_t = 19,2 t \rightarrow \sigma'_{b0} = \frac{19,2 \cdot 10^3}{\pi \cdot 30 (200 + 165)} = 0,58 \text{ kg/cm}^2 \ll \bar{\sigma}_{b0}$$

Ferraillage :

non adopte un ferrailage minimum Aciéris verticaux : 8 T16 / m l
Cercos : 8 T16 / m l

Acrotère :

l'effet du vent sur l'acrotère est négligeable, la contrainte de compression dans le béton sous l'effet de son poids propre est très faible, donc un ferrailage forfaitaire Cercos : 6 T10 / m l
Aciéris verticaux 2 T10 / m l

Coupole de couverture :

on calcule notre coupole d'après la théorie de l'équilibre de membrane (théorie des plaques et coques) et "Cours voiles minces" André Cain.

en chaque point d'une parallèle agissant une pression P_n normale à la surface et une effort P_t agissant dans le plan tangent au méridien.

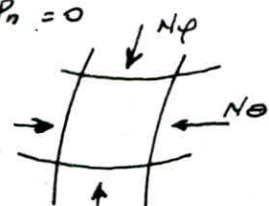
on calcule les tensions normales N_θ et N_φ par unité de longueur. Les cisaillements sont nuls par suite de symétrie. Soit Φ la résultante de la charge totale qui agit sur la partie de la coque située au-dessus de la parallèle passant par le point P.

l'équilibre de translation verticale donne : $N_\varphi = \frac{-\Phi}{2\pi R \sin^2 \varphi}$

l'équation d'équilibre de translation du P

suivant la normale en ce point donne : $\frac{N_\varphi}{R} + \frac{N_\theta}{R} + P_n = 0$

$$\rightarrow N_\theta = -P_n R + \frac{\Phi}{2\pi R \sin^2 \varphi}$$



remarque : N_φ est toujours une compression

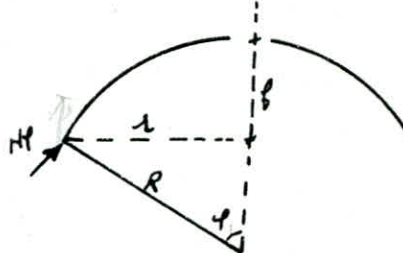
N_θ est une - compression pour $0 < \varphi < 52^\circ$
- traction pour $\varphi > 52^\circ$

charges à prendre en compte

en raison du surbaissement de la coupole

on peut considérer que le vent n'a pas de prise sur la surface de la coupole.

. Poids mort + surcharges y compris la neige	
poids propre	250 kg/m²
étanchéité	100 "
protection	20 "
surcharges pondérées	120 "



$$p = 490 \text{ kg/m}^2$$

Charge répartie par mètre linéaire de circonference φ_0 (n° 10)

soit P_{ml} le long de la parallèle sur laquelle s'appuie le lanternneau cette charge provient de :

- poids de la dalle circulaire 8130
- " du lanternneau 11070
- surcharges pondérées (110.11.2.10) 1662

$$P = 20862 \text{ kg}$$

La charge P est répartie uniformément sur une circonference de rayon moyen $r = 1.95 \text{ m}$

$$\text{d'où } P_{ml} = \frac{20862}{2\pi \cdot 1.95} = 1702.70 \text{ kg/ml}$$

$$p = 0.490 \text{ t/m}^2$$

$$P = 2.70 \text{ t/ml}$$

calcul de φ_0 et φ_1 : φ_0 : bord sup de la coupole
 φ_1 : " inf " "

$$\text{cas A} : \tan \varphi_1 = \frac{r}{R-f} = \frac{11.5}{24.47 - 2.87} = 0.5324$$

$$\varphi_1 = 28.03^\circ$$

$$\sin \varphi_0 = \frac{1}{R} = \frac{1}{24.47} = 0.0408$$

$$\varphi_0 = 2.34^\circ$$

$$\text{Cas B : } \begin{aligned} \sin \varphi_0 &= \frac{1.95}{24.47} = 0.0797 & \varphi_0 &= 4.57^\circ \\ \cos \varphi_0 &= 0.9963 & \sin \varphi_1 &= 0.4699 \\ \text{Expression de } N_y \text{ et } N_\theta \end{aligned}$$

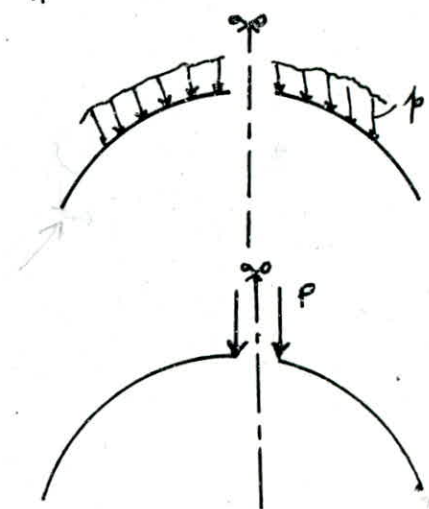
$$\begin{aligned} \text{Cas A : } P_n &= p \cos \varphi \\ Q &= 2\pi R^2 (\cos \varphi_0 - \cos \varphi) R \end{aligned}$$

$$N_y = p R \cos \varphi_0 - \cos \varphi \sin^2 \varphi$$

$$N_\theta = p R (\cos \varphi - \frac{\cos \varphi_0 - \cos \varphi}{\sin^2 \varphi})$$

$$\begin{aligned} \text{Cas B : } P_n &= 0 \\ Q &= 2\pi R p \sin \varphi_0 \end{aligned}$$

$$N_y = -N_\theta = -P \frac{\sin \varphi_0}{\sin^2 \varphi}$$



Valeurs de N_y et N_θ au bord inférieur ($\varphi = \varphi_1$)

	$N_y (\text{t}/\text{m}\ell)$	$N_\theta (\text{t}/\text{m}\ell)$
Cas A	- 6.20	- 4.39
Cas B	- 0.614	+ 0.614

Le signe (-) indique une compression.

d'où l'on obtient au bord inférieur :

$$\begin{aligned} N_y &= N_{yA} + N_{yB} = -6.814 \text{ t}/\text{m}\ell \\ N_\theta &= N_{\theta A} + N_{\theta B} = -3.776 \text{ t}/\text{m}\ell \end{aligned}$$

Contrainte de compression maximale dans le béton.

$$\sigma_b' = \frac{N_y}{100e} = \frac{6.814}{100 \times 10} = 6.814 \text{ kg/cm}^2 < \bar{\sigma}_{b0}$$

Contrainte de cisaillement du béton

la composante verticale de N_y aux retombées est $V = N_y \sin \varphi_1$

$$V = 6.814 \cdot 0.4699 = 3.202 \text{ t}/\text{m}\ell$$

$$\text{d'où } \tau_b = \frac{V}{100e} = \frac{3.202}{100 \cdot 10} = 3.202 \text{ kg/cm}^2 < \bar{\tau}_b$$

Remarque : Le béton seul suffit à reprendre tous les efforts, cependant nous mettons des parapluies destinées à résister aux effets des températures et de retrait, et aux effets dissymétriques.

La coupole de couverture est considérée comme faiblement chargée. D'après le cahier de charges applicable à la construction des cuves et réservoirs en BA, on peut adopter comme ferrailage

$$\text{Meridiennes : } A' = 0.3\% \text{ de la section du béton} = 0.3e = 0.3 \cdot 0.1 = 3 \text{ cm}^2/\text{ml}$$

$$\text{Parallèles : } A'' = \frac{1}{2} A' = \frac{1}{2} 3 = 1.5 \text{ cm}^2/\text{ml.}$$

Meridiennes	9 T8 / ml
Parallèles	8 T8 / ml

N.B : Le ferrailage sera renforcé au voisinage de l'appui sur une distance de 1.20m donc on dispose sur cette distance (suivant les meridiennes) face supérieure 10 T10 / ml.
face inférieure 10 T10 / ml.

Cheminée :

hauteur d'eau à la base	6.70 m
rayon extérieur	0.75 m
rayon intérieur	0.60 m
épaisseur	0.15 m

La cheminée est soumise à la compression sous l'effet de la poussée d'eau

$$p = \rho g = 6.70 \cdot 1.0 = 8.04 \text{ t/m}^2$$

à cette pression correspond une poussée : $\varphi = 8.04 \text{ t/m}^2$

l'effort de compression résultant : $H = \varphi \cdot r = 8.04 \cdot 0.75 = 6.03 \text{ t}$

La contrainte de compression dans le béton :

$$\sigma_b = \frac{H}{100e} = \frac{6.03 \cdot 10^3}{100 \cdot 15} = 4.02 \text{ kg/cm}^2 < \bar{\sigma}_b$$

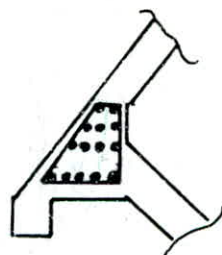
Ferrailage : Le ferrailage est parfaitement, car la contrainte de compression est très petite devant la contrainte de compression admissible

$$\text{Cercles : } A = 0.3 \times 15 = 4.5 \text{ cm}^2$$

$$\text{Armatures verticales : } \frac{1}{2} A' = 2.25 \text{ cm}^2$$

Cercles :	2.5 T8 / ml
Armatures verticales	2x4 T8 / ml

N.B : Ces armatures ont pour but de combattre le retrait et à empêcher la fissuration qu'à assurer la résistance proprement dite.



$$6b = 18.48 \text{ kg/cm}^2 < 28.40 \text{ kg/cm}^2 \text{ Verifiaction}$$

$$6b = \frac{F}{B + m A} = \frac{105.50 \text{ kg}}{4677.30 + 15 \times 6.872} = 18.48 \text{ kg/cm}^2$$

$$A = 68.72 \text{ cm}^2$$

$$m = 15$$

Verifiaction de la contrainte de traction: $B = 4677.30 \text{ cm}^2$
sur deux bandes de section homogenee ($B + m A$)

Armatures sede au paragean:	$2 \times 5 \text{ Ø} 8/\text{m}^2$ (ailes) + 5 barres $\phi 10/\text{m}^2$
Cerces:	44 T25

$$\text{Fermeage: } A = \frac{F}{\sigma_a} = \frac{105.50 \text{ kg}}{1570} = 67.80 \text{ cm}^2 \quad \text{44 T25}$$

$$\text{done } F = (8.92 + 0.254) 11.5 = 105.50 \text{ kg}$$

$$F = (\phi_a + \phi_c) \tau$$

Effort de traction dans les cerces est:

$$\phi_a = A_a \frac{\sigma_a}{0.65} = 0.254 \text{ t/m}^2$$

$H = 65 \text{ cm}$ (hauteur de la cerce)

$$\sigma_a = 1.2 \times 1 = 1.2 \text{ t/m}$$
 (valeur qui doit étre majorée de 20% pour la sécurité)

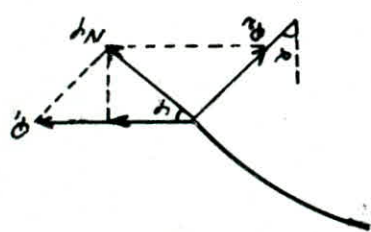
$$\phi_c = \sigma_a H^{1/2}$$

La pression exercée par unité sur la surface de la cerce est:

$$\phi_c = 8.90 \text{ t/m}^2$$

$$\phi_c = 6.184 \cdot 0.9847 + 6.814 \cdot 0.6499$$

$$\phi_c = N_p \cos \varphi + N_p \sin \varphi \cdot \tan 45^\circ$$



Soit: ϕ_c pour l'angle d'équilibre de l'empennage homologante de la poussée.

et que la poussée de couverture est une poussée ϕ_c du poids de la base.

paroi de la cuve

les parois de la cuve sont tronconiques inclinées à 45° (généatrice moyenne)
l'épaisseur est variable de 0.34 m (bas de la cuve) à 0.18 m (haut de la cuve)

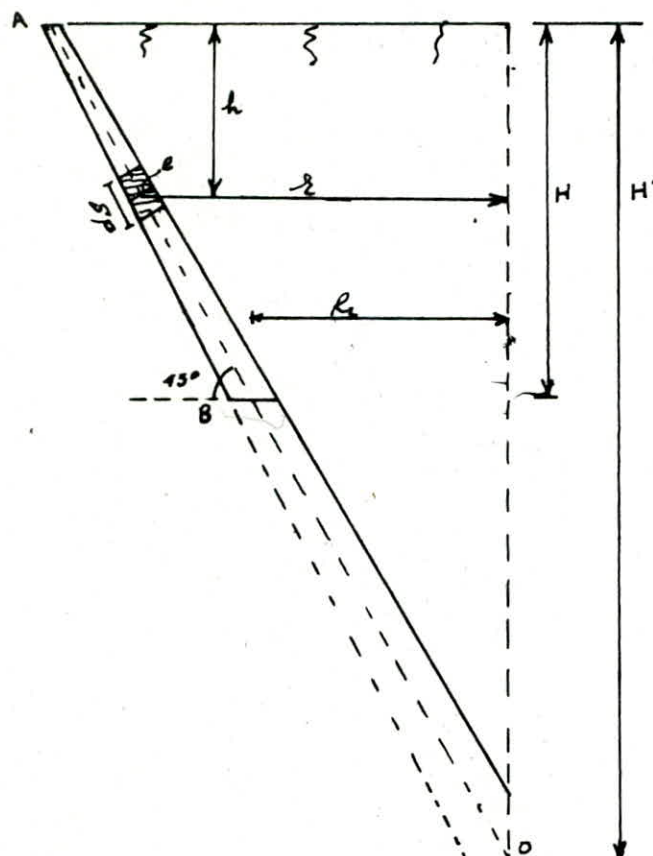


fig. 1

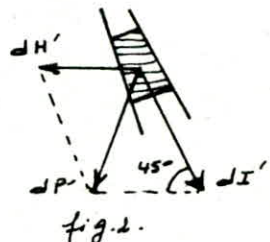


fig. 2

considérons un élément ds , de rayon r (moyen) et épaisseur moyenne (e), cet élément est surmonté au centre d 'une hauteur d'eau (h). L'élément est sollicité par la pression (dP) et son poids (dP') (fig 1 et 2)

on pose δ = poids volumique de l'eau
 Δ = " " du Beton Armé

on aura :

$$dP = \delta h ds \quad \left\{ \begin{array}{l} dH = \frac{\delta h}{\sin \alpha} ds \\ dI = \frac{\delta h}{\tan \alpha} ds \end{array} \right.$$

$$dP' = \Delta e ds \quad \left\{ \begin{array}{l} dH' = \frac{\Delta e}{\tan \alpha} ds \\ dI' = \frac{\Delta e}{\sin \alpha} ds \end{array} \right.$$

les efforts dI, dI' sont des compressions dans la paroi
les efforts dH, dH' introduisent une composante tangente $dT = (dH + dH')$

$$dT = \frac{r}{\sin \alpha} (\delta h + \Delta e \cos \alpha) ds$$

l'effort T est nul au point A ($h=0$) et O ($r=0$), Cet effort est dû à l'eau
Il est maximum entre ces deux points en un point C. Son expression :

$$T_{\text{eau}} = \frac{r \delta h}{\sin \alpha} = \frac{H-h}{\tan \alpha} \frac{\delta h}{\sin \alpha}$$

T_{can} est maximum quand l'expression $\frac{\delta (H-h)}{\operatorname{tg} \alpha \sin \alpha}$ est maximum

c'est à dire quand la dérivée est nulle, on trouve donc le maximum de T_{can} pour $H = h$ et l'effort tranchant de produit au dessus de $H/2$, tenant compte de l'étanchéité la formule devient:

$$dT = \left(\frac{\delta h}{\operatorname{sin} \alpha} + \frac{0.07}{\operatorname{tg} \alpha} + \frac{\delta e}{\operatorname{tg} \alpha} \right) r ds \quad ds = dr \sqrt{2} \quad \alpha = 45^\circ$$

d'où $dT = (5h \sqrt{2} + \delta e + 0.07) \sqrt{2} dr$

La pente du parment étant de 45° , on peut écrire $h = H - r = 11.56 - r$
en sachant que : $H = 11.5 + \frac{0.20}{2} = 11.56 \text{ m}$

$$\Delta = 2.5 t/m^3$$

$$\delta = 1.2 t/m^3$$

La formule devient : $dT = (3.536e - 2.40r + 27.84) r dr \quad dr = 1 \quad (\alpha = 45^\circ)$

$$T = (3.536e - 2.40r + 27.84) r dr$$

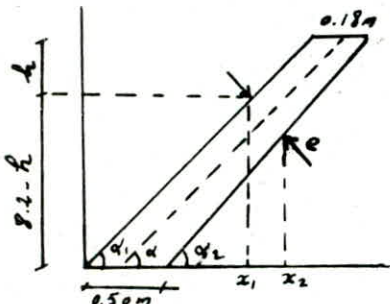
e : épaisseur moyenne de la tranche, considérée

r : rayon moyen de la tranche, considéré

dr : la variation du rayon

Tous les résultats ainsi que le ferrailage sont regroupés dans le tableau ci-dessous.

Le ferrailage pour chaque tranche est : $A = \frac{T}{\bar{\sigma}_a}$ $e = \left(\frac{8.6-h}{\operatorname{tg} \alpha} - \frac{8.6-h}{\operatorname{tg} \alpha} + 0.50 \right) \cos 45^\circ$



Contrainte de traction du béton

La contrainte de traction dans la paroi est calculée en prenant la section du béton homogénéisé. Soit

$$\bar{\sigma}_b = \frac{T}{100e + 15A}$$

D'après "le cahier de charge applicables à la construction des cuves et réservoir en béton armé". Annales de l'ITBTP N° 223-224 juillet-août 1966" la contrainte admissible de traction dans le béton pour une paroi en contact avec le liquide ne devra pas excéder la valeur définie par $\bar{\sigma}_b \leq \bar{\sigma}_{b8}$ avec $\bar{\sigma}_{b8} = 0.8 \bar{\sigma}_{28}$

$\bar{\sigma}_{28}$: Résistance à la traction du béton en 28 jours ($\bar{\sigma}_{28} \leq 22.6$)

$\bar{\sigma}_{28}$ = as de la traction simple

$$\begin{aligned} \bar{\sigma}_{b8} &= 1.16 \cdot 22.6 \text{ bar} \\ &= 25.4 \text{ kg/cm}^2 \end{aligned}$$

tranches	h (m)	r (m)	e (m)	T (t)	ϕ (mm)	$\bar{\sigma}_a$	A trouvé	A réelle	$nT\phi$	$\bar{\sigma}_b$
N°										
1 0-2.3	0.10	11.46	0.1861	2.51	14	1935	1.30	6.15	4T14	1.29
2 0.2-1.3	0.70	10.82	0.1985	28.93	"	"	14.96	15.39	10T20	13.06
3 1.2-2.2	1.70	9.82	0.2192	50.54	"	"	29.73	31.42	10T20	18.98
4 2.2-3.2	2.70	8.82	0.2398	67.21	20	1700	39.54	43.97	14T20	21.98
5 3.2-4.2	3.70	7.82	0.2682	78.30	"	"	46.09	53.39	18T20	22.18
6 4.2-5.2	4.70	6.82	0.2930	85.70	"	"	50.41	59.68	20T20	22.13
7 5.2-6.2	5.70	5.82	0.3100	87.53	"	"	51.49	"	20T20	21.65
8 6.2-7.2	6.70	4.82	0.3285	84.41	"	"	49.65	"	20T20	20.26
9 7.2-8.2	7.70	3.82	0.3488	76.34	"	"	44.91	50.25	16T20	18.84

Effort normal

L'effort normal (en bas de chaque tranche) provenant des composantes inclinées dP , dP' , dP'' soit

$$dN = (dI + dI' + dI'') 2\pi r \quad ds = \sqrt{2} dr$$

$$dN = \left(\frac{8h}{\tan \alpha} ds + \frac{\Delta e}{\sin \alpha} ds + \frac{0.07}{\sin \alpha} ds \right) 2\pi r$$

d'où

$$N = (5e - 1.70r - 19.83) 2\pi r dr$$

L'effort N est calculé en utilisant l'expression ci-dessus et rajoutant l'effort transmis par les tranches supérieures pour obtenir l'effort total (ΣN) en bas de chaque tranche. Il faut noter que la première tranche reçoit également l'effort transmis par la ceinture, l'acrotère, la coupole ouverte.

$$N_0 = N_{01} + N_{02} + N_{03}$$

$$N_{01} = \frac{P_c}{\cos 45} = P_c \sqrt{2}$$

$$N_{02} = \frac{P_a}{\cos 45} = P_a \sqrt{2}$$

$$N_{03} = \frac{N_p \cdot \sin \varphi}{\cos 45} \cdot 2\pi r$$

d'où $N_0 = 111.98 + 13.32 + 331.49 = 456,796$

Contrainte de compression du béton:

La contrainte de compression du béton dans chaque paroi est $\bar{\sigma}_b = \frac{\Sigma N}{S}$ où S : section transversale de la paroi de la cuve à la côté considéré.

$$S = 2\pi r \cdot \frac{e}{\cos \alpha}$$

$$\text{Exple: 1ère tranche } r = 11.46 \quad S = 18.95 \text{ m}^2$$

$$e = 0.1861 \text{ m}$$

$$S = 475,70 \text{ t}$$

$$\bar{\sigma}_b = 2.51 \text{ kg/cm}^2$$

N	t (m)	tranche	e(m)	$N(t)$	$\Sigma N(t)$	$S(m^2)$	$\sigma_b'(\text{kg}/\text{cm}^2)$	$A'_2(\text{cm}^2)$	$A'_1\text{cm}^2/\text{m}$
1	11.46	0 - 0.2	0.1861	18.91	475.70	18.95	2.51	(2x2)Ti2	4.52
2	10.82	0.2 - 1.2	0.1985	167.31	643.01	19.09	3.37	(2x4)Ti2	9.05
3	9.82	1.2 - 2.2	0.2192	262.94	905.95	19.13	4.74	(2x4)Ti2	9.05
4	8.82	2.2 - 3.2	0.2398	328.74	1234.69	18.79	6.57	(2x6)Ti2	13.57
5	7.82	3.2 - 4.2	0.2682	387.03	1621.72	18.64	8.70	(2x6)Ti2	13.57
6	6.82	4.2 - 5.2	0.2930	415.70	2037.42	17.76	11.47	(2x7)Ti4	13.83
7	5.82	5.2 - 6.2	0.3100	420.02	2457.44	16.03	13.33	(2x7)Ti4	"
8	4.82	6.2 - 7.2	0.3225	401.23	2858.67	13.81	20.70	(2x7)Ti4	"
9	3.82	7.2 - 8.2	0.3432	361.27	3219.94	11.65	27.17	(2x7)Ti4	"

Remarque: La contrainte de compression du béton reste toujours inférieure à la contrainte admissible $\bar{\sigma}_b = 76.5 \text{ kg/cm}^2$

D'après le tableau de charges applicable à la construction des réservoirs et cuves en béton armé. Quelque soit le résultat des calculs, il sera prévu des armatures de répartition qui auront, par unité de longueur, une section totale au moins égale au quart ($\frac{1}{4}$) de celle des armatures principales (Cercles). Dans nos calculs nous avons pris $A' = \frac{1}{4} A$. Le résultat sont dans le tableau ci-dessus. La section totale des armatures de répartition devra varier progressivement afin d'éviter les fissures de désolidarisation. Dans le cas des parois tendues des réservoirs où il y a de rotation, et lorsque l'épaisseur dépassera 15 cm (notre cas) des armatures seront disposées en deux nappes distinctes, de façon à former un double quadrillage. Chaque quadrillage sera placé à proximité de l'une et de l'autre des surfaces de la paroi (face intérieure et extérieure), en respectant les distances minimales d'enrobages.

Calcul de la paroi inférieure:

On suppose que la partie inférieure des parois est encastrée sur le fond de la cuve et sur la tour de support.

Dans le calcul précédent on a négligé l'influence de l'enca斯特ement de l'extrémité inférieure sur le fond qui entraîne, dans une certaine mesure, la déformation sous l'influence des efforts tangents calculés précédemment. On calcule les moments dans la partie inférieure des parois en appliquant la méthode de "HANGAH-SABRE" qui suppose un encaissement non parfait mais un encaissement élastique.

N.b : Cette méthode est théoriquement conçue pour les cuves à épaisseur constante, néanmoins, appliquée aux cuves à épaisseur variable, elle donne des résultats satisfaisants (A. GUERRIN T VI).

Flotant à l'encastrement inférieur.

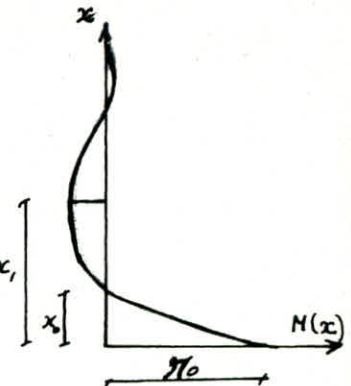
$$M_o = K (1.2 \bar{w}) h^3$$

K: constante donnée par l'abaque GUERRIN Tc P.229 en fonction de ϵ/ϵ' et ph .

e : épaisseur de la paroi au voisinage du fond (34.5) x_1

e' : épaisseur de fond (lame de fond) : (20 cm)

h : hauteur maximale de l'eau (8.20 m)



$$\beta = \frac{\sqrt{3(1-0.15)}}{\sqrt{R \cdot e}} \quad (\text{donnée à la page 211 GUERRIN})$$

ν : Coeff de poisson ($\nu = 0.15$)

R : rayon au voisinage du fond de fond : 2.30 m

$$\beta = \frac{\sqrt{3(1-0.15)}}{\sqrt{2.30 \cdot 0.345}} = 1.469$$

$$\begin{aligned} \beta h &= 1.469 \cdot 8.2 = 12.06 \\ \frac{e}{e'} &= \frac{0.345}{0.20} = 1.725 \end{aligned} \quad \Rightarrow K = 0.0015$$

$$\text{donc } M_o = (1.2 \times 1000) 0.0015 (8.2)^3 = 992.46 \text{ kg/m}$$

pour le ferrailage non prend $h_f = 34.5$ cm $\rightarrow h = 31.50$ cm
le bras pole levier du couple élastique $z = \frac{7}{8}h = 27.50$ cm

$$A = \frac{M_o}{z \delta_a} = \frac{992.46 \cdot 10^2}{2054 \cdot 27.56} = 1.75 \text{ cm}^2$$

donc la section effective $\sigma_{T12} = 2.26 \text{ cm}^2/\text{m}$
d'armature de répartition est donc largement suffisante (σ_{T12})
à l'abscisse du moment fléchissant nul.

$$x_0 = K_0 h \quad K_0: \text{Coeff donné par l'abaque A-G P.230 en fonction de } \beta \cdot h, \epsilon/\epsilon'$$

$$K_0 = 0.0303$$

$$x_0 = 0.0303 \cdot 8.2 = 0.248 \text{ m}$$

Moment fléchissant maximale :

$$M' = -K' (1.2 \bar{w}) h^3 \quad K': \text{Coeff donné par l'abaque A-G P.232 en fonction de } \beta \cdot h, \epsilon/\epsilon'$$

$$K' = 0.0007$$

$$M' = -(0.0007)(1.2 \cdot 1000) (8.2)^3 = 463.15 \text{ kg m/m}$$

Abscisse du moment négatif maximal

$$x_1 = K_1 h \quad \text{l'abaque (A-G P.231) donne } K_1 \Rightarrow K_1 = 0.104$$

$$x_1 = 0.104 \cdot 8.2 = 0.85 \text{ m} \quad \text{l'épaisseur de la paroi} \\ \text{à } x_1: e = 0.325 \text{ m}$$

$$\text{donc } h_f = 32.57 \text{ cm} \Rightarrow h = 29.57 \text{ cm}$$

$$\text{la section d'armatures tendues en } x_1 \text{ est } A = \frac{463.15 \cdot 10^2}{25.87 \cdot 2054} = 0.87 \text{ cm}^2$$

la section est faible, donc les racres de répartitions l'emportent également.

Abscisse de l'effort maximal suivant les cercles.

$$x_2 = K_2 \cdot h$$

$$K_2: \text{donné par l'abaque } P_{233} \quad K_2 = 0.183$$

$$x_2 = 0.183 \times 8.2 = 1.497 \text{ m.}$$

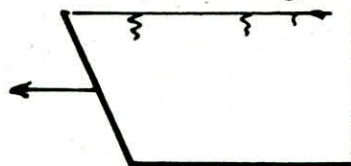
$$\begin{array}{l} \text{l'épaisseur en } x_2 \\ \text{rayon moyen en } x_2 \end{array} \quad \begin{array}{l} e_2 = 0.3183 \text{ m} \Rightarrow h_e = 31.83 \text{ m} \\ R_2 = 5.156 \text{ m} \end{array}$$

pour une tranche de 1,00 m (dr=1) \Rightarrow

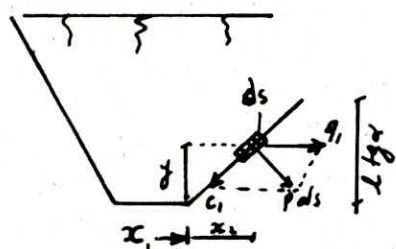
$$T = (27.94 - 2.4 \times 5.156 + 3.536 \times 0.3183) \times 5.156$$

$$T = 86,06 t$$

Remarque: Cet effort est presque le même que celui trouvé précédemment (voir tableau), le ferrailage prudent est donc suffisant.



Côte de fond.



on considère un élément de trame de côte de dimension ($ds \times 1$). Cet élément est soumis à la pression de l'eau et à son poids propre soit p la pression due à l'eau au centre de l'élément de coordonnées x_1, y

$$\text{Nous avons } p = \bar{\omega}(h-y)$$

Soit pour un élément une force

$$pdsv = \bar{\omega}(h-y) ds$$

$$\text{d'où } q_1 = \frac{pdsv}{\sin \theta} = \frac{\bar{\omega}(h-y)}{\sin \theta} ds \quad (\text{suivant la parallèle})$$

$$c_2 = \frac{pdsv}{\tan \theta} = \frac{\bar{\omega}(h-y)}{\sin \theta \tan \theta} dy \quad (\text{suivant la génératrice})$$

A la force q_1 correspondra un effort de traction dans les cercles du trame de côte élémentaire.

$$dF_1 = q_1 (x_1 + y \tan \theta) = \frac{\bar{\omega}(h-y)(x_1 + y \tan \theta)}{\sin^2 \theta} dy$$

La force F_1 due à la poussée de l'eau et s'exerçant sur toutes les cercles de la partie tronconique aura pour expression.

$$F_1 = \frac{\bar{\omega}}{\sin^2 \theta} \int_0^{h-y} (h-y)(x_1 + y \tan \theta) dy$$

$$\Rightarrow F_1 = \frac{\bar{\omega} h}{\sin^2 \theta \cos \theta} \left(h(x_1 + \frac{h}{2}) - (\frac{x_1}{2} + \frac{h}{3}) \tan \theta \right)$$

quand à la force de compression, elle donnera un effort de compression dans le tronc de cône

$$dC_1 = (x_1 + x_2) c_1 = \pi \frac{\bar{w} (h-y) (x_2 + \ell/tg\alpha)}{\sin \alpha \tan \alpha} dy$$

La force de compression c_1 due à la poussée de l'eau et s'exerçant sur l'ensemble du tronc de cône suivant la direction des génératrices.

$$c_1 = \frac{2\pi \bar{w}}{\sin \alpha \tan \alpha} \int_{0}^{\ell \tan \alpha} (h-y) (x_2 + \ell/tg\alpha) dy$$

$$c_1 = \frac{2\pi \bar{w}}{\sin \alpha} \left(h(x_1 + \ell/2) - \left(\frac{x_2 + \ell/3}{2} \right) \ell \tan \alpha \right)$$

Considérons maintenant l'effet du poids propre, si Δ est le poids du mètre carré de paroi, nous aurons pour l'élément (dsx_1) une force (Δds). Cette force peut être décomposée comme précédemment en une force horizontale q_2 et une force C_2 dirigée suivant les génératrices.

$$q_2 = \frac{\Delta ds}{\tan \alpha} \quad C_2 = \frac{\Delta ds}{\sin \alpha}$$

Où une force de traction dans les cercles de l'élément de tronc de cône

$$dF_2 = q_2 (x_2 + x_1) \quad F_2 = \frac{\Delta}{\sin \alpha} (x_1 + \ell/2)$$

La force (C_2) de compression due au poids propre de la partie tronconique aura donc pour expression $C_2 = \frac{2\pi \Delta}{\sin \alpha \cos \alpha} (x_1 + \ell/2)$

La force de traction F équilibré par les cercles de la partie tronconique aura pour expression.

$$F = F_1 + F_2 = \frac{\ell}{\sin \alpha} \left(\left(\frac{\bar{w} \Delta}{\cos \alpha} + \Delta \right) (x_1 + \ell/2) - \frac{\bar{w} \ell \tan \alpha}{\cos \alpha} \left(\frac{x_1}{2} + \ell/3 \right) \right)$$

La force de compression C à la base du tronc de cône, elle aura pour expression, si nous rappelons P le poids transmis par tronc de cône par la cheminée.

$$C = \frac{P}{\sin \alpha} + C_1 + C_2$$

$$C = \left\{ P + \left(\bar{w} h + \frac{\Delta}{\cos \alpha} \right) (x_1 + \ell/2) - \bar{w} \ell \left(\frac{x_1}{2} + \ell/3 \right) \tan \alpha \right\} \frac{1}{\sin \alpha}$$

Charges à prendre en compte.

poids propre	0.2.2.5	= 0.50 t/m²
étanchéité + enduit	0.09	= 0.05 t/m²

$$\phi = 0.55 t/m^2$$

charge provenant de la cheminée ($P = 13,175 t$) sera répartie par mètre linéaire

$$P = \frac{13,175}{3\pi \cdot 1.35} = 1.55 t/m$$

$$\Delta = \phi = 0.55 t/m^2$$

$$h = 1.55 m$$

$$\bar{w} = 1.2 t/m^2$$

$$P = 1.55 t/m$$

$$h = 8.20 m$$

Application numérique

$$F = N_g = 61.78 \text{ t/ml}$$

Ferrallage : $A = \frac{61.78}{1841} = 33.94 \text{ cm}^2/\text{ml}$

force de compression à la base du tronc de cône

$$N_p = C = 47.41 \text{ t/ml}$$

la contrainte du béton.

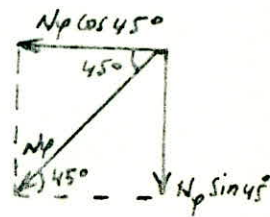
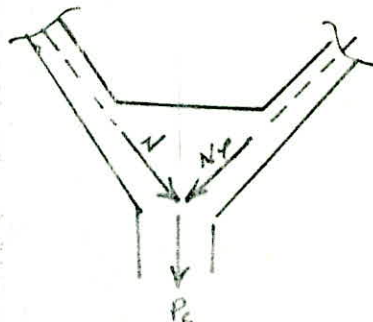
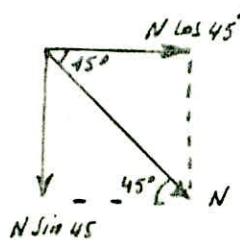
$$\sigma_b' = \frac{47.41 \cdot 10^3}{700\pi} = 23.71 \text{ kg/cm}^2 < \sigma_b'$$

donc les armatures de répartition seront : $A = \frac{f}{4} A_c = 8.49 \text{ cm}^2$

2.4 T16 /ml : cercles
2.5 T12 /ml : A.-répartition

Cinture de base.

La ceinture basse est soumise à l'effort N_p transmis par la partie tronconique et à l'effort normal N transmis par le dernier anneau de la paroi.



$$N = 3219.94 \text{ t} \quad \text{perre réparti sur un rayon de } 2.85 \text{ m} \quad N = \frac{321.94}{2\pi \cdot 2.85} = 179.81 \text{ t/ml}$$

donc $\Phi_2 = N \cos 45^\circ = 179.81 \cdot 0.707 = 127.13 \text{ t/ml}$
 $N \sin 45^\circ = 179.81 \cdot 0.707 = 127.13 \text{ t/ml}$

$$\Phi_1 = N_p \cos 45^\circ = 47.41 \cdot 0.707 = 33.52 \text{ t/ml}$$
 $N_p \sin 45^\circ = 47.41 \cdot 0.707 = 33.52 \text{ t/ml}$

La ceinture reçoit donc un effort de compression.

$$H = 93.61 \times 2.85 \text{ t}$$

$$H = 266.79 \text{ t}, \quad \text{donc } A = \frac{1}{n} \left(\frac{N}{\Phi_2} - B \right)$$

$$A = \frac{1}{15} \left(\frac{266.79 \cdot 10^3}{75} - 6550 \right) < 0$$

Le béton seul peut résister à cet effort, néanmoins on adoptera un pourcentage d'acier de 1% de la section du béton.
 donc $A = 65.50 \text{ cm}^2 \rightarrow 22 \text{ T20 (66.84 cm}^2)$

FERRAILLAGE de la cuve + cheminée

ceinture Sup : 14 T 25
5 cadre Ø 10 / m

Cheminée

Cercles : 2.5 T 8 / m
Ar : 2.4 T 8 / m

Cercles : 2.7 T 16 / m
Ar : 2.5 T 12 / m

ceinture inférieure
(22 H 20)

exemple: tranche 6.7.8

Cercles (armatures principales)
Nappes int : 10 T 20 (1)
Nappes ext : 10 T 20 (2)

Armatures verticales
Nappes int : 7 T 14 (1')
Nappes ext : 7 T 14 (2')

~d'où 1+1' (forme un quadrillage interne)
2+2' (forme un quadrillage externe)

DETERMINATION DE
LA PÉRIODE PROPRE
DE VIBRATION DE
L'OURAGÉ

Determination de la période propre de vibration de l'ouvrage.

On se propose de déterminer la période avec deux méthodes différentes.

Première méthode

Formule pour masse concentrée sur un support de masse non négligeable

(MARIUS-DIVER)

$$T = 2\pi \sqrt{\frac{P' h^3}{g EI}} \quad \text{avec } P' = P + \frac{33}{140} \varphi h$$

h : hauteur du support comptée de l'enca斯特ement au centre de gravité de la masse oscillante.

I : moment d'inertie de la section transversale du support.

E : module d'élasticité instantané.

P : poids de la masse concentrée

φ : poids du support par unité de longueur (kg/m)

a. Cuve vide

Dalle circulaire

$$z_1 = 35.51 \text{ m}$$

$$P_1 = 8.13 t$$

Poteaux sous dalle

$$P_2 = 2.25 t$$

ceinture sur coupole

$$P_3 = 8.82 t$$

coupole de clôture

$$P_4 = 213.56 t$$

Acrotère

$$P_5 = 9.42 t$$

- ceinture supérieure

$$P_6 = 79.18 t$$

- cuve

$$P_7 = 312 t$$

- cheminée

$$P_8 = 13.17 t$$

- ceinture inférieure

$$P_9 = 16.63 t$$

- côté de fond

$$P_{10} = 9.33 t$$

$$\sum P_i = 672.50 t$$

$$Z_g = \frac{\sum P_i z_i}{\sum P_i}$$

$$Z_g = 29.18 + 2.5 = 31.68 \text{ m}$$

$$\varphi = \frac{\pi}{4} (D_c^2 - D_i^2) f_b = \frac{\pi}{4} (\bar{6}^2 - 5.4^2) 2.5 = 13.43 \text{ t/m}$$

$$I = \frac{\pi}{64} (D_c^4 - D_i^4) = \frac{\pi}{64} (\bar{6}^4 - 5.4^4) = 21.878 \text{ m}^4$$

$$E_i = 2100 \sqrt{628} = 2100 \sqrt{1.02300} = 367350 \text{ kg/cm}^2$$

1. Cuve vide + la moitié du fut

$$Z = \frac{672.50 \times 31.68 + 13.43 \times 11.75 + 17.625 + 3.45 \times 2 \times 17.5}{672.50 + 13.43 \times 11.75 + 3.45 \times 2} = 28.86 \text{ m}$$

$$P' = 837.2 + \frac{33}{140} 13.43 \cdot 28.86 = 928.56 t$$

$$T = 2\pi \sqrt{\frac{928.56 \cdot (28.86)^3}{3 \cdot 9.81 \cdot 218.78 \cdot 367350}} = 0.61 s.$$

2. Cuve vide (+) $\frac{1}{3}$ fût

$$Z = \frac{672.5 \times 31.62 + 13.43 \times 7.83 \times 19.58 + 3.45 \times 20.45}{672.50 + 3.45 + 13.43 \times 7.83} = 29.87 \text{ m}$$

$$P' = 781.12 + \frac{33}{140} 13.43 \cdot 29.87 = 875.68 \text{ t}$$

$$T = 2\pi \sqrt{\frac{875.68 \times (29.87)^3}{3 \cdot 9.81 \cdot 218.78 \cdot 367350}} = 0.62 \text{ s}$$

3. Cuve pleine (+) $\frac{1}{2}$ fût

$$Z = \frac{928.56 \times 28.86 + 1515.41 \times 29.69}{928.56 + 1515.41} = 29.37 \text{ m}$$

$$P' = 2443.97 + \frac{33}{140} 13.43 \times 29.37 = 2536.96 \text{ t}$$

donc $T = 1.03 \text{ s}$

4. Cuve pleine + $\frac{1}{3}$ fût

$$Z = \frac{781.12 \times 30.02 + 1515.41 \times 29.69}{781.12 + 1515.41} = 29.80 \text{ m}$$

$$P' = 2296.53 + \frac{33}{140} 13.43 \times 29.5 = 2390.85 \text{ t}$$

donc $T = 1.02 \text{ s}$

Deuxième méthode : (méthode de RAYLEIGH)

Elle est basée sur la conservation d'énergie, et suppose les systèmes non amortis conservatifs. Mais compte tenu de l'influence négligeable de l'amortissement sur les valeurs des pulsations propres, elle peut être utilisée pour le calcul de la pulsation fondamentale d'un système oscillant ayant un nombre fini ou infinité de degrés de liberté.

Domaine d'application :

Elle est très utile pour la détermination du premier mode fondamental. Son utilisation pour le mode supérieur est très laborieuse.

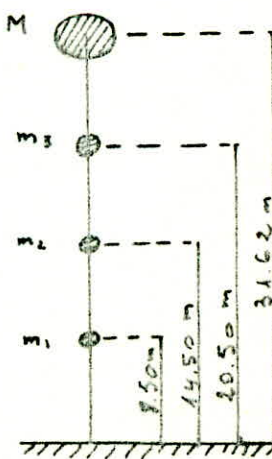
Notons que cette méthode est très pratique pour un système oscillant ayant un grand nombre de degrés de liberté.

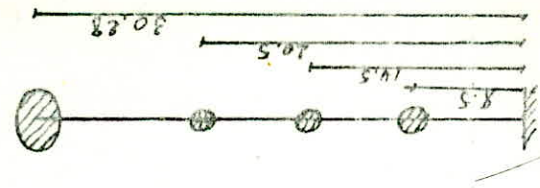
Schéma de calcul de RAYLEIGH.

on modélise notre structure sous la forme de quatre masses concentrées.

masse de la cuve (pleine ou vide) plus une partie du fût
masse de chaque plancher de repos plus la partie
du fût lui revenant

en imaginant la structure retournée à 90° dans le champ de la





Curve feature

$$\omega_0 = \omega_0 \cdot e^{-j\omega t} \quad \omega_0 = 10.23 \text{ rad/s} \quad T = 0.618$$

$$I_{Pc} x_i = 7.04$$

$$x_1 = 0.0103 \text{ m}$$

$$x_2 = 0.0496 \text{ m}$$

$$x_3 = 0.0938 \text{ m}$$

	1039.92	8815.95	5208.30	10538.45
3	638.81	1646.96	8846.71	5208.30
2	921.46	1646.21	1646.96	8815.95
1	204.71	421.46	638.21	1039.92
	$f=1$	$f=2$	$f=3$	$f=4$

Curve ends

$$X_i = \frac{1}{EI} P_f S_{if} / EI$$

deplacement due to same mass due to $(i-4)$ doffs per:

$$M_p = 692.64 + 1515.41 = 2208.056$$

$$M_v = 672.5 + 13.43 \times 1.5 = 692.64$$

$$m_3 = 3.45 + 13.43 \times 4.5 = 63.886$$

$$m_2 = 3.45 + 13.43 \times 6 = 84.036$$

$$m_1 = 3.45 + 13.43 \times 7.25 = 100.826$$

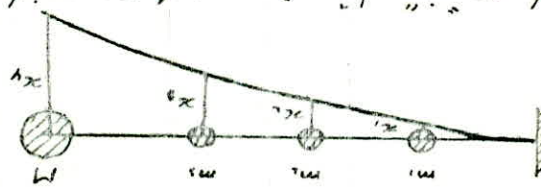
Calculate this masses concerned

$$T = \frac{2\pi}{\sqrt{\frac{I}{EI} P_f x_i}}$$

de period due to former mode fundamental of damped per:

$$x_i = \phi_i = \frac{1}{f} \left[\frac{EI}{P_f x_i} (x_f - x_i) \right] \text{ since } f > 1$$

de displacement on "i" due to one force unit force applied on "f"



de form of which give produce for the force f .

such mode suppose give de form of mode of minimum to the

displacements.

displacement due to forces $f_i = m_i g$, a mass of mass. Calculate de of damped from the forces $f_i = m_i g$, a mass of mass.

EIS_y	$j=1$	$j=2$	$j=3$	$j=4$
$i=1$	204.71	421.46	638.21	991.51
$i=2$	424.46	1016.96	1646.96	2676.08
$i=3$	638.21	1646.96	2871.71	4926.73
$i=4$	991.51	2676.08	4926.73	9254.36

$$\begin{aligned}x_1 &= 0.0280 \\x_2 &= 0.0760 \\x_3 &= 0.140 \\x_4 &= 0.2620\end{aligned}$$

$$\begin{aligned}\sum P_i x_i &= 596.66 \\ \sum P_i x_i^k &= 153,39\end{aligned}$$

d'où $\omega = 6.18 \text{ rad/s} \longrightarrow T = 1.02 \text{ s}$

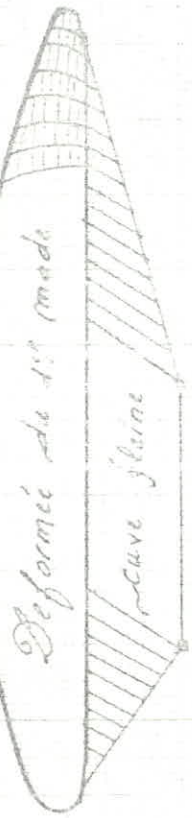
calcul de participation modale :

$$\eta_j^{(i)} = \frac{\left(\sum m_j x_j^{(i)}\right)^2}{\sum m_j \sum m_j x_j^{(i)}} \quad \begin{array}{l} \text{à vide } \eta_v = 85\% \\ \text{à plein } \eta_p = 95\% \end{array}$$

Remarque : le coefficient de participation modale du 1^{er} mode est supérieur à 80%, donc le 2^{me} mode est peu influent.

Les périodes les plus défavorables seront :

Cuve vide	$T = 0.61 \text{ s}$
Cuve Pleine	$T = 1.02 \text{ s}$



10.48

10.50

14.50

15.0

10

15

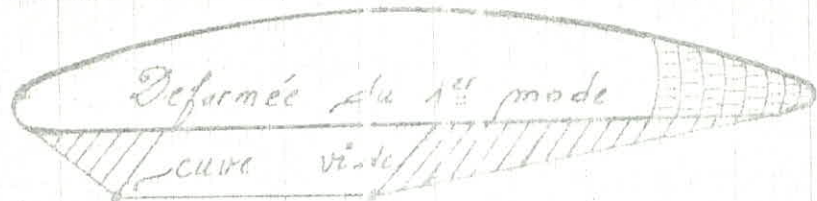
10

Lobelle

E
W
N
S

4 cm

Lobelle



3A.62

20.50

14.50

7.50

0.00

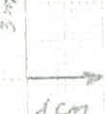
|||||

10

15

20

échelle



ÉTUDE

AU

Y ENT

Action d'ensemble du vent.

L'action d'ensemble du vent est la résultante géométrique R de toutes les actions P sur les différentes parois de la construction.
La résultante peut se décomposer suivant deux directions :

- direction parallèle à celle du vent : Traînée T
- direction perpendiculaire au vent : Dérive L

L'effort de traînée est donné par $T = C_t \beta S q_{de}$

$C_t = C_{t0} \theta_0$: Dépend de l'élançement de la tour et de la rugosité de sa surface ; il est lié aux efforts aérodynamiques provoqués par la forme circulaire de la section.

C_{t0} : cylindre rugueux à la base circulaire sans nervure = 0.55

$\lambda = \frac{Z^2}{S_t}$: $Z = h + t$: hauteur total de l'ouvrage : 35.50 m
 S_t : Aire totale de la projection verticale de la construction (maître-couple) : 330.28 m

$$\lambda = \frac{35.50^2}{330.28} = 3.83 \quad (\text{NV 65 p 145 R01.10 cat I}) \text{ donne } \theta_0 = 1.05$$

$$\text{d'où } C_t = 1.05 \times 0.55 = 0.578$$

$\beta = (1 + \xi \tau) \theta$: coefficient de majoration dynamique dépend de la période de résonance liée aux effets de résonance provoqué par les oscillations de la tour et du niveau considéré.

ξ : coefficient de réponse, donné en fonction de la période "T" du mode fondamental d'oscillation de la structure.

τ : coefficient de pulsation, déterminé à chaque niveau considéré en fonction de sa place au dessus du sol

S : coefficient de réduction, tenant compte de l'effet des dimensions, il est donné par les règles "NV65" en fonction de la hauteur de la construction et du niveau pris en considération. (= 0.752)

De : Diamètre extérieur à la plate considérée.

$$q : \text{pression du vent} : \quad q = k_s \cdot q_H \quad q_H = 175 \frac{h+18}{h+60}$$

q_H : pression du vent à la hauteur "h"

$$\text{Donc } T = 0.578 (1 + \xi \tau) 0.752 \cdot 1.30 \cdot 175 \cdot \frac{h+18}{h+60} \text{ De}$$

$$T = 98.88 (1 + \xi \tau) \text{ De. } \frac{h+18}{h+60}$$

Tous les résultats de calcul des coefficients ainsi que les pressions normal (q_n) et extrême (q_e) sont rangés dans le tableau suivant.

Z(m)	C _t	T	ξ_v	ξ_p	S	K _s	q _v	β_v	β_p	q _n	q _e
0.00	0.567	0.360	0.58	0.98	0.752	1.30	52.50	1.209	1.353	68.25	119.44
2.50	"	"	"	"	"	"	57.40	"	"	74.62	130.59
5.50	"	"	"	"	"	"	62.79	"	"	81.63	142.85
8.50	"	"	"	"	"	"	67.70	"	"	88.01	154.00
11.00	"	0.358	"	"	"	"	71.50	1.208	1.351	92.95	162.66
14.50	"	0.354	"	"	"	"	76.34	1.205	1.347	99.24	173.67
17.50	"	0.350	"	"	"	"	80.16	1.203	1.343	104.21	182.37
19.50	"	0.346	"	"	"	"	82.55	1.201	1.339	107.32	187.81
21.00	"	0.344	"	"	"	"	84.26	1.200	1.337	109.54	191.70
23.50	"	0.340	"	"	"	"	86.98	1.197	1.333	113.07	197.87
27.00	"	0.335	"	"	"	"	90.52	1.194	1.328	117.68	205.94
30.00	"	0.330	"	"	"	"	93.33	1.191	1.323	121.33	212.33
32.50	"	0.327	"	"	"	"	95.54	1.190	1.320	124.40	217.35
35.48	"	0.325	"	"	"	"	97.97	1.189	1.319	127.36	222.82
-2.50	"	0.360	"	"	"	"	57.40	1.209	1.335	74.62	130.59

d'indice "v" désigne le cas où la cuve est vide
d'indice "p" désigne le cas où la cuve est pleine

$q_n = K_s q_v$ pression normale

$q_e = 1.75 q_n$ pression extrême

Action perpendiculaire à la direction du vent

La force de derive est donnée par: $L = C_L \delta' \beta' \rho_{air} D_e \frac{H}{L}$

$C_L = 0.2$: coefficient de derive (experimental) donné par NV65

$\beta' = 0.2$: coefficient dynamique, structure en état de résonnance

$\delta' = 0.8$: coefficient de réduction tenant compte de l'effet de dimension

$Z = 35.50\text{m}$: hauteur totale de la construction. ($L = h$)

$H = \dots \dots$ côté du niveau considéré (compté à partir du sol).

La résonnance se produit quand la période des rafales du vent est égale à la période propre de vibration de la structure selon la théorie de "KARMAN"

$$T_K = \frac{D_e}{S \cdot V}$$

V : vitesse du vent

S : 0.2 "nombre de STROUHAL", donné par NV65

D_e : 6.00m Diamètre extérieur de la tour.

$$T_K = T \longrightarrow V_{cr} = \frac{D_e}{S \cdot T}$$

Les vibrations latérales doivent être compatible avec le régime lamininaire du vent ($V_{cr} \leq 25\text{ m/s}$)

Dans le cas où la vitesse $V_{cr} > 25\text{ m/s}$, les oscillations latérales sont négligeables, vu l'incompatibilité entre le régime turbulent et les tourbillons de "KARMAN"

Réservoir vide : $T = 0.62\text{ s}$ $V_{cr} = \frac{6.00}{0.2 \cdot 0.62} = 49.18\text{ m/s} > 25\text{ m/s}$

Réservoir plein : $T = 1.02\text{ s}$ $V_{cr} = \frac{6.00}{0.2 \cdot 1.02} = 29.41\text{ m/s} > 25\text{ m/s}$

Remarque: L'augmentation de la vitesse du vent diminue la possibilité de mise en résonnance, on a donc admis (NV65) arbitrairement qu'à partir de vitesse de 25m/s. Il n'est pas nécessaire de faire un calcul à la résonnance

NV65: Les oscillations latérales sont donc négligeables.

les pressions et les forces sont données par le tableau ci-dessous.

CUVE VIDE				CUVE PLEINE				
Côte	q_{rn}	q_{re}	T_n	T_e	q_{rn}	q_{re}	T_n	T_e
0.00	35.18	61.57	241.03	588.42	39.38	68.91	236.28	413.50
2.50	38.47	67.32	230.82	423.94	43.93	75.34	258.24	451.92
5.50	42.09	73.63	252.54	441.95	47.09	82.42	282.54	494.44
8.50	43.37	79.39	260.23	455.38	50.79	88.86	304.74	533.30
11.00	48.63	85.10	291.78	510.62	53.55	93.72	321.30	562.30
14.50	51.00	89.25	306.00	535.50	57.00	99.75	342.00	598.50
17.50	53.50	93.73	321.36	562.38	59.67	104.17	358.02	626.53
19.50	54.95	96.16	329.70	576.97	61.27	107.25	367.62	643.33
21.00	56.04	98.10	336.24	588.42	62.44	109.28	374.64	655.62
23.50	57.74	101.00	623.27	1090.76	64.27	112.46	694.12	1214.70
27.00	59.90	104.82	1066.12	1865.80	66.64	116.61	1186.20	2075.84
30.00	61.63	107.82	1466.56	2566.50	68.45	119.80	1629.11	2850.94
32.50	63.12	110.44	883.68	1546.44	64.57	112.99	903.98	1581.96
	64.57	112.99	271.18	475.98	71.63	125.35	300.85	526.48

avec $q_{rn} = C_t \beta v S g$ $T_n = q_{rn} D$ ($D = 6,00m$)

$q_{re} = 1.75 q_{rn}$ $T_e = q_e D$

Cote	Curve vide				Curve pleine			
	Effort tranchant		Moment fléchissant		Effort tranchant		Moment fléchissant	
	S _c e normal	S _c e exceptionnel	S _c e normal	S _c e exceptionnel	S _c e normal	S _c e exceptionnel	S _c e normal	S _c e exceptionnel
35.42	—	—	—	—	—	—	—	—
32.50	1.69	2.96	2.07	3.62	1.76	3.08	2.30	4.03
30.00	4.62	8.09	9.84	17.22	4.93	8.63	10.92	19.18
27.00	8.42	14.74	15.03	26.34	9.16	16.03	18.04	31.57
23.50	11.38	19.92	29.08	50.89	12.46	21.80	32.30	56.52
21.00	12.58	22.02	54.33	95.08	13.80	24.14	60.16	105.28
19.50	13.08	22.89	79.47	139.07	14.36	25.12	88.26	154.46
17.50	13.73	24.03	100.98	176.71	15.09	26.40	112.15	196.26
14.50	14.67	25.67	150.24	262.92	16.14	28.25	166.86	291.99
11.00	15.71	27.49	216.94	379.65	17.30	30.28	240.96	421.68
8.50	16.40	28.70	269.78	472.01	18.08	31.64	299.60	524.30
5.50	17.17	30.05	337.67	590.92	18.96	33.18	375.12	656.46
2.50	17.90	31.33	409.58	716.77	19.77	34.60	455.00	796.25
0.0	18.45	32.29	471.75	825.56	20.39	35.68	524.10	917.18
-2.50	18.98	33.22	535.22	936.64	20.69	36.20	594.64	11040.62

Sollicitation locales

En plus des sollicitations d'ensemble, qui comme on a vu précédemment provoquent des moments fléchissant et effort tranchant, on a aussi des sollicitations locales, qui provoquent des moments d'ovalisation sur les parois du château d'eau. Ce calcul présente un intérêt uniquement pour les tours de section annulaire.

$$M_{oi} = K_i S_o q_n D_m^2$$

$$\text{avec } D_m = \frac{D_e + D_i}{2}$$

$$M_{oe} = K_e S_o q_n D_m^2$$

M_{oi} : moments d'ovalisation intérieur
 M_{oe} : " " extérieur

$K_i = 0.062$ face ouverte (fibre intérieures tendue: $\alpha = 90^\circ$)
 $K_e = 0.054$ face latérale (" extérieure " $\alpha = 0^\circ$)
 les coefficients sont donné par Marius Diver

h	K _i	K _e	S _o	q _n dan/m	D _m	D _{m'}	M _t d'ovalisation		M _t d'ovalisation	
							Normale	exceptionnelle	M _{oi} dan/m	M _{oe} dan/m
0.00	0.062	0.054	0.862	68.25	5.70	32.49	118.51	103.28	207.39	180.64
2.50	"	"	"	74.62	"	"	129.57	112.85	226.75	197.49
5.50	"	"	"	81.63	"	"	141.74	123.45	248.05	216.04
8.50	"	"	"	88.01	"	"	152.82	133.10	267.44	232.94
11.00	"	"	"	92.95	"	"	161.40	140.57	282.45	246.00
14.50	"	"	"	99.24	"	"	172.32	150.09	301.56	262.66
17.50	"	"	"	104.21	"	"	180.95	157.60	316.66	275.80
19.50	"	"	"	107.92	"	"	186.35	162.30	326.11	284.03
24.00	"	"	"	109.54	"	"	190.20	165.66	332.85	289.91
23.50	"	"	"	113.07	10.60	112.36	678.98	591.37	1188.22	1034.89
27.00	"	"	"	117.68	17.60	309.76	1948.17	1696.79	3409.30	2969.38
30.00	"	"	"	121.33	23.10	538.24	3490.14	3039.80	6107.75	5319.65
34.50				124.20	13.30	476.89	1174.15	1022.65	2054.76	1789.64
35.42				127.36	4.20	17.64	120.07	104.58	210.12	183.02

ETUDE AU
SENSE

Notre ouvrage sera implanté dans une zone de moyenne sismosité (zone II) cette dernière est susceptible d'être soumise à d'importantes secousses sismiques pouvant provoquer des désordres dans la construction et même la ruine totale, à moins que celle-ci ne soit pas longtemps de façons à pouvoir résister aux forces sismiques horizontales agissant sur la structure.

L'étude consiste en la vérification sous les sollicitations l'ensemble de la résistance et la stabilité de la structure afin de justifier la sécurité de la construction vis-à-vis des efforts sismiques.

Les sollicitations d'origine sismiques peuvent s'évaluer soit :

par application à la construction d'un système de forces dont les effets statiques seront causés engendrant les mêmes effets que l'action sismique.

Par un calcul dynamique direct, disposer de spectres de réponses, donc des graphes donnant directement l'accélération de l'onde sismique en fonction de la fréquence, pour un séisme précédent.

Nous appliquerons, pour nos calculs, le 1^{er} procédé énoncé ci-dessus en faisant un calcul statique équivalent. Il faut souligner toutefois que les forces sismiques équivalentes données par la méthode statique sont inférieures aux forces réelles qui se produisaient dans la structure élastique sous l'action du séisme extrême.

L'étude est basée sur les règles parasismique Algériennes (RPA-81)

Principe de calcul.

Dans la conception du présent règlement les forces réelles dynamiques qui se développent dans la construction sont remplacées par un système de forces fictives statiques dont les effets sont considérés équivalents aux effets de l'action sismique.

Les systèmes équivalents résultant de la combinaison :

D'un système de forces élémentaires horizontales.

D'un système de forces élémentaires verticales

D'un système de couple de torsion d'ensembles axiales

Dans notre cas, les charges sont axiales symétriques, le couple de torsion n'existe pas, ainsi que pour l'action sismique verticale.
on considère la seule force horizontale V.

Calcul de la force sismique V

La force sismique horizontale totale agissant sur la structure est :

$$V = ABDQW$$

(art 3-1. RPA-81)

A : coefficient d'accélération de zones

Dépend du groupe d'usage de la structure et de la zone sismique
Le réservoir d'eau est considéré comme un ouvrage important nécessaire aux besoins vitaux - (usage I)

groupe d'usage I } A = 0.25
Zone II }

D: facteur d'amplification dynamique moyen, sera déterminé d'après le type de sol en fonction de la période "T" de l'ouvrage

$$\text{Pour un sol ferme } D = \sqrt{\frac{0.3}{T}} \quad (\text{RPA - P17})$$

$$\text{château d'eau vide } T_v = 0.61 s \longrightarrow D = 1.403$$

$$\text{château d'eau plein } T_p = 1.02 s \longrightarrow D = 1.085$$

B: facteur de comportement de la structure, dépend de son type et de la nature de ses contreventements.
ouvrage reposant sur un voile porteur (fût) $B = \frac{1}{3}$ (RPA - P22)

Q: facteur de qualité du système de contreventement d'une structure donnée est fonction de l'hyperstatique et de la Surabondance du système en plan, de sa régularité en élévation et de la qualité du contrôle pendant la construction.

$$Q = 1 + \sum_{q=1}^{10} p_q. \quad p_q : \text{penalité qui dépend de l'observation}$$

Dans notre cas tous les critères sont observés à savoir :

conditions minimales des filières porteuses ... 0.1

Symétrie en plan ... 0.1

Surabondance en plan ... 0

Régularité en élévation ... 0

Contrôle de la qualité du matériau ... 0.1

Contrôle de la qualité de la construction ... 0

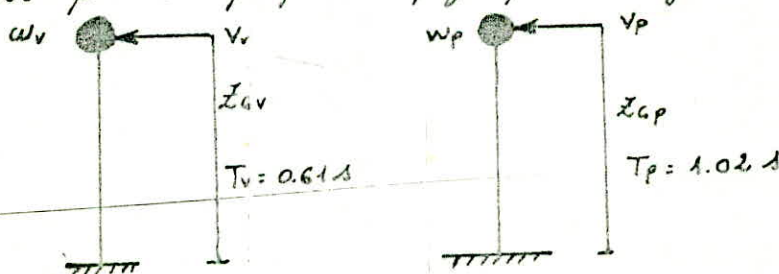
$$\text{d'où } Q = 1.31$$

W: poids de la structure, sa valeur comprend la totalité des charges permanentes.

$w_v = 988.10 t$	$v_v = 150.18 t$
$w_p = 2503.52 t$	$v_p = 294.27 t$

Notre modèle de calcul est le suivant:

Sous l'effet du séisme, la structure oscille, pour décrire le comportement physique de cette structure on a besoin d'un modèle mathématique caractérisé par les propriétés physiques du système oscillant.



Remarque: La force que sera calculée, représente l'effort agissant sur la structure, non considérant que toute la masse d'eau est liée rigidement à la juve, or en réalité il y a une partie d'eau qui va être en oscillation par rapport à la juve lors d'une secousse sismique qu'on va étudier dans le chapitre suivant (effet hydrodynamique). Le dimensionnement sera obtenu en prenant le plus défavorable.

Principe de modélisation.

On modélise notre structure par une masse concentrée au niveau du centre de gravité de la cuve.

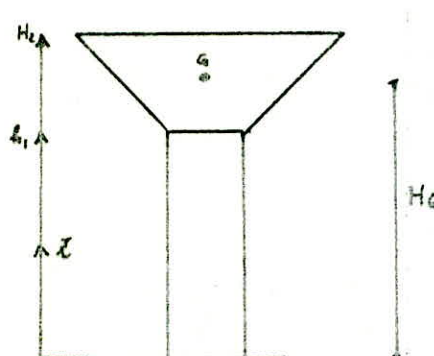
Puisque la masse du support n'est pas négligeable et à considérer uniformément répartie.

$$f(x) = \frac{V \cdot m(x) z}{\int_0^H m(z) dz \cdot z}$$

$f(x)$: densité de la force horizontale à la côte z

$m(z)$: loi de répartition de la masse

z : côte au point du support



cuve vide

$$H_t = 32.40 \text{ m}$$

$$h_b = 23.50 \text{ m}$$

$$H_G = 31.62 \text{ m}$$

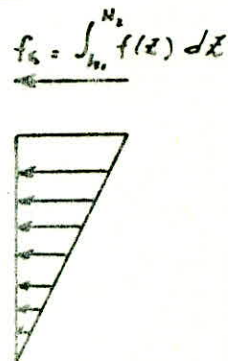


cuve pleine

$$H_t = 32.40 \text{ m}$$

$$h_b = 23.50 \text{ m}$$

$$H_G = 30.28 \text{ m}$$

Calcul des efforts tranchants et moments fléchissants

cuve vide : $Ctx = -0.0135x^3 + 150.18x - 4393.06$
 $T(x) = -0.041x^2 + 150.18$

cuve pleine : $Ctx = -0.0094x^3 + 294.27x - 8682.04$
 $T(x) = -0.0286x^2 + 294.27$

Z	Ct(x)		T(x)	
	vide	pleine	vide	pleine
21.00	4038.98	1888.69	117.54	278.70
19.50	1232.80	2108.01	130.34	280.62
18.50	1497.41	2283.30	133.78	282.99
14.50	1906.28	3725.63	139.33	286.12
11.00	2398.80	4732.52	142.71	289.13
8.50	2723.06	5457.58	145.28	290.86
5.50	3198.48	6332.69	147.56	292.47
2.50	3643.80	7211.07	149.16	293.57
0.00	4017.77	7946.51	149.92	294.09
-2.50	4393.01	8682.04	150.18	294.27

ETUDE DE L'EFFET
HYDRAULIQUE
DE L'EAU

Introduction:

Sous l'effet d'une excitation, la structure se met en mouvement. L'eau ne se comporte plus comme une masse rigidelement liée à la cuve mais une partie de l'eau oscille indépendamment de la vibrations de la cuve, et ce dans le cas où le réservoir est partiellement rempli. Si les vibrations de l'eau oscillante et celle de la partie de l'eau inertie plus la structure sont en phase, cette dernière sera soumise à des efforts supérieurs à ceux trouvés sous l'hypothèse que l'eau et la cuve font un même corps.

Hypothèses de calcul:

Le liquide sera considéré comme incompressible
La耗散 (dissipation) d'énergie due à la viscosité du fluide sera négligée.

Méthode approchée de calcul d'après HOUZNER

Cette méthode aboutit à des expressions relativement simples

Dans cette modélisation, Houzner décompose l'action du liquide en deux types.

Une action passive provoquant des efforts d'impulsion

Une action active provoquant des efforts d'oscillation.

Les efforts d'impulsions proviennent de ce qu'une partie de la masse du fluide, dite masse passive, réagit par inertie, à la translation des parois du réservoir. Son système mécanique équivalent est obtenu en considérant une masse M_i liée rigidement au réservoir à une hauteur h_i telle qu'elle exerce sur les parois les mêmes efforts horizontaux que la masse d'eau équivalente.

Quant aux efforts d'oscillation, ils proviennent de ce qu'une autre partie de la masse du fluide, dite masse active, se met en mouvement d'oscillation sous l'action du séisme.

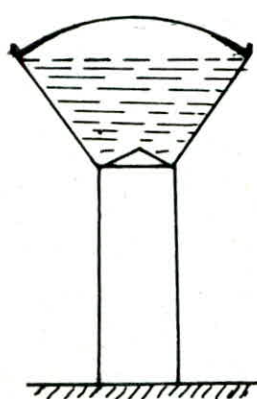
Son équilibre mécanique s'obtient en considérant une masse M_o appliquée au niveau h_o .

Dans le modèle adopté, la masse M_o est reliée à la structure par une tige de même raideur K_o , formant un couplage direct avec M_i tandis que M_i est reliée par une tige représentant le support de la structure et de la constante de rappel K_i .

Pour simplifier les calculs, on admettra que la cuve rectangulaire remplacée par une cuve cylindrique.

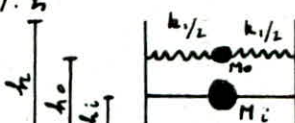
Le rayon R du réservoir est déterminé par l'expression suivante

$$V = \pi R^2 h$$

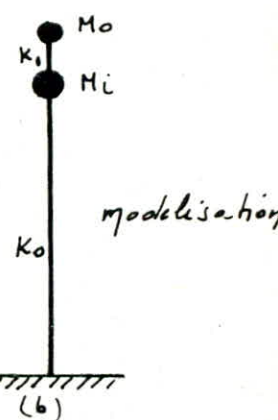


$$R = \sqrt{\frac{V}{\pi \cdot h}}$$

Équivalent mécanique



(a)



$$R = \sqrt{\frac{1515.41}{\pi \cdot 8.2}} = 7.67 \text{ m}$$

$$\text{taux de remplissage} = \frac{8.20}{7.67} = 1.07 < 1.5$$

$$M_L = M_c \cdot \frac{\operatorname{th}(\sqrt{3} R/h)}{(\sqrt{3} \cdot R/h)} + M_{res} + M_{fuit}$$

$$M_L = 1515.41 \frac{\operatorname{th}(\sqrt{3} \cdot 7.67/8.2)}{(\sqrt{3} \cdot 7.67/8.2)} + 672.50 + 13.43 \cdot 23.5 = 1852.95 \cdot 10^4 \text{ N}$$

$$h_1 = 3/g \cdot h = 3/g \cdot 8.2 = 3.075 \text{ m}$$

Masse active oscillante

$$M_o = M_c \cdot 0.318 \frac{R}{h} \operatorname{th}(1.84 \frac{h}{R})$$

$$M_o = 433.50 \cdot 10^4 \text{ N}$$

$$h_0 = h \left[1 - \frac{\operatorname{ch}(1.84 \frac{h}{R}) - 1}{1.84 \cdot \frac{h}{R} \cdot \operatorname{sh}(1.84 \frac{h}{R})} \right]$$

$$h_0 = 5.055 \text{ m}$$

Pulsation de la masse oscillante

$$g = 9.81 \text{ m/s}^2$$

$$\omega_0^2 = 1.84 \frac{g}{R} \cdot \operatorname{th}(1.84 \frac{h}{R})$$

$$\omega_0^2 = 2.26 \text{ rad/s}$$

$$\boxed{\omega_0 = 1.56 \text{ rad/s}}$$

Raideur du couple entre M_o et M_L

$$K_1 = m_1 \omega_0^2 \quad m_1 = \frac{M_o}{g} \rightarrow \frac{433.53 \cdot 10^4}{9.81} = 441.90 \cdot 10^3 \text{ N}$$

sous

$$\boxed{K_1 = 998.70 \cdot 10^3 \text{ N/m}}$$

Raideur du support

$$K_0 = \frac{P}{P'} \frac{3EI}{l^3}$$

$$\begin{aligned} P &: \text{masse totale du bateau d'eau} \\ P &= 672.5 + 1515.41 = 2187.90 \text{ t} \end{aligned}$$

$$P' = 2187.90 + \frac{33}{140} \cdot 13.43 \cdot 23.5 = 2262.30 \text{ t}$$

$$K_0 = \frac{2187.90}{2262.30} \cdot \frac{3 \cdot 21.878 \cdot 367.35 \cdot 10^8}{(23.5)^3} = 1.7967 \cdot 10^8 \text{ N/m}$$

Calcul des pulsations propres ω_1, ω_2 (du 1^{er} et 2nd mode) de vibration

$$\omega_{1,2} = \frac{1}{2} \left[\frac{K_{00}}{m_0} \pm \frac{K_{11}}{m_1} \pm \sqrt{\left(\frac{K_{00}}{m_0} - \frac{K_{11}}{m_1} \right)^2 + 4 \frac{K_{01} K_{10}}{m_0 m_1}} \right]$$

$$K_{00} = K_0 + K_1 = 1.806 \cdot 10^8 \text{ N/m}$$

$$K_{11} = K_1 = 998.70 \cdot 10^4 \text{ N/m}$$

$$K_{01} = K_{10} = -K_1 = -998.70 \cdot 10^4 \text{ N/m}$$

$$\omega_1^2 = 1.23 \quad \omega_1 = 1.50$$

$$\omega_2^2 = 95.3056 \quad \omega_2 = 9.76$$

$\omega_1 = 1.50 \text{ rad/s}$	$T_1 = 4.18 \text{ s}$
$\omega_2 = 9.76 \text{ rad/s}$	$T_2 = 0.64 \text{ s}$

Remarque : La période d'oscillation du 1^{er} mode fondamental est très grande, ceci est dû au fait que le mouvement de la masse d'eau active (oscillation est lente) est en phase avec l'oscillation avec la structure.

Faux d'amplitude

$$\phi_{01} = \frac{m_0 \dot{\theta}_{01} + m_1}{m_0 \dot{\theta}_{01}^L + m_1}$$

$$\phi_{01} = \frac{998.7 / 1888.8}{\frac{1.81 \cdot 10^5}{1888.8} - 2.23} = 0.0055$$

$$\phi_{01} = \frac{\frac{K_{01}}{m_0}}{\frac{K_{00}}{m_0} - \omega_0^2}$$

$$\phi_{02} = \frac{-0.528}{95.1986 - 95.3440} = -91.00$$

facteurs de contribution

$$\gamma_1 = \frac{m_0 \dot{\theta}_{01} + m_1}{m_0 \dot{\theta}_{01}^L + m_1}$$

$$\text{d'où } \gamma_1 = 1.023$$

$$\gamma_2 = -0.010$$

Calcul du déplacement (1^{er} mode, 2nd mode)

$$1^{\text{er}} \text{ mode} \quad x_{11} = \gamma_1 \frac{s_{v1}}{\omega_1}$$

$$x_{01} = \phi_{01} \cdot x_{11}$$

s_{v1} : valeur de la vitesse maximale donnée par le spectre de vitesse d'El. centro. Elle est fonction de la période T et du coefficient d'amortissement.

$$T_1 = 4.18 \text{ s} \quad \rightarrow s_{v1} = 0.75 \text{ m/s}$$

$$\zeta_1 = 0.5\% \quad x_{11} = 0.512 \text{ m}$$

$$x_{01} = 2.844 \cdot 10^{-3} \text{ m}$$

2nd mode

$$T_2 = 0.64 \text{ s} \quad \rightarrow s_{v2} = 0.58$$

$$\zeta_2 = 2\% \quad x_{12} = -5.9 \cdot 10^{-4} \text{ m} \quad x_{02} = 0.053 \text{ m}$$

Calcul des forces

1^{er} mode

$$F_{11} = K_{11} \bar{x}_{11} + K_{10} \bar{x}_{01}$$

$$F_{01} = K_{01} \bar{x}_{11} + K_{00} \bar{x}_{01}$$

$$F_{11} = 50.85 \cdot 10^4 \text{ N}$$

$$F_{01} = 0.0586 \cdot 10^4 \text{ N}$$

$$F_{1t} = 50.91 t$$

2nd mode

$$F_{12} = K_{11} \bar{x}_{12} + K_{10} \bar{x}_{02}$$

$$F_{02} = K_{01} \bar{x}_{12} + K_{00} \bar{x}_{02}$$

$$F_{12} = -5.35 \cdot 10^4 \text{ N}$$

$$F_{02} = 954 \cdot 10^4 \text{ N}$$

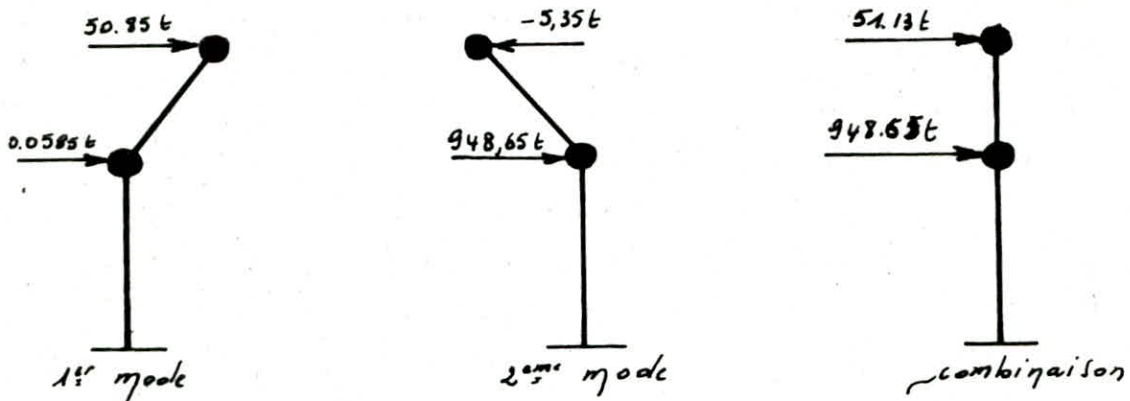
$$F_{1t} = 948,65 t$$

combinaison des deux modes.

La combinaison des deux modes est obtenue par superposition quadratique des forces.

$$F_i' = \sqrt{F_{i1}^2 + F_{i2}^2} = \sqrt{(50.85)^2 + (-5.35)^2} = 51.13 t$$

$$F_i' = \sqrt{F_{01}^2 + F_{02}^2} = \sqrt{(0.0585)^2 + (948.65)^2} = 948.65 t$$



Effort tranchant à la base.

$$F_t = \sqrt{F_1'^2 + F_2'^2} = 950. 10^4 N \quad F: \text{la force elastique}$$

La force réglementaire est donnée par

$$F_{reg} = B F_{el} = \frac{1}{3} 950. 10^8 = 316.67 t$$

Moment fléchissant à la base.

$$M = \frac{948.58}{3} \cdot 26.575 + \frac{51.13}{3} \times 28.555 = 8890.13 t.m$$

Remarque: on rappelle que l'étude sismique ne donne pas de valeurs inférieures à celles trouvées dans l'étude hydrodynamique.

$$T = 294.26 t$$

$$M = 8682.04 t.m$$

D'où l'on a une erreur relative rapportée au calcul sans l'effet hydrodynamique.

$$\text{Effort tranchant : } \frac{T' - T}{T} = \frac{316.67 - 294.26}{294.26} = 0.0762 = 7.62\%$$

$$\text{Moment fléchissant : } \frac{M' - M}{M} = \frac{8890.13 - 8682.04}{8682.04} = 2.4\%$$

Remarque: on remarque que l'erreur relative de l'effort tranchant est inférieure à 10% ce qui concerne le moment il est inférieure à 15%

Calcul de la hauteur maximale des vagues:

$$d_{max} = \frac{0.408 R}{\frac{g}{\omega_0^2 \Phi_{00} R} - 1}$$

Au premier mode : on calcule les paramètres A_{11} et θ_1 .

$$A_{11} = \bar{x}_{11} - \bar{x}_{01} = 0.512 - 2,844 \cdot 10^{-3} = 0.51m$$

$$\theta_1 = 1.53 \frac{A_{11}}{R} \operatorname{th}(1.84 \cdot h/R) = 1.53 \frac{0.51}{7.67} \operatorname{th}(1.84 \cdot 1.07) = 0.09$$

d'où $d_{1max} = \frac{0.408 \times 7.67 \times 1.0397}{\frac{10}{(1.5)^2 \cdot 0.09 \cdot 7.67} - 1} = 59.80 \text{ cm}$

Au deuxième mode

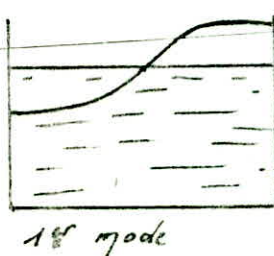
$$A_{22} = \bar{x}_{12} - \bar{x}_{02} = -5.9 \cdot 10^{-4} - 0.053 = -0.054.$$

$$\theta_2 = 1.534 \frac{(-0.054)}{7.67} \operatorname{th}(1.08 \cdot 1.07) = -0.0103.$$

$$d_{2max} = -0.057 m$$

D'où la hauteur maximale de la vague pour la combinaison des deux mode.

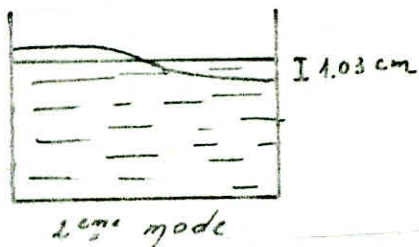
$$d_{max} = \sqrt{d_{1max}^2 + d_{2max}^2} = 60.07 \text{ cm}$$



$d_{1max} = 59.8 \text{ cm}$

Remarque :

La contribution du 2^{me} mode en ce qui concerne la hauteur des vagues est négligeable devant celle du 1^{er} mode, par contre sa contribution est beaucoup plus importante que celle du 2^{me} mode quand il s'agit des oscillations dynamiques.



$d_{2max} = 1.03 \text{ cm}$

Soit le tableau donnant l'effort tranchant et le moment:

Z	21.00	19.50	17.50	14.50	11.00	8.50	5.50	2.50	0.00	-2.50
T	299.88	301.96	304.51	307.88	312.99	313.19	314.72	315.91	316.48	316.67
M	1058.52	1558.41	2224.93	3618.57	4691.12	5224.27	6224.05	7223.83	8056.98	8890.13

Conclusion :

- Les effets des lois hydrodynamique nous montre que l'on ne peut négliger l'effet de vague. Si l'on ne prévoit pas une hauteur suffisante pour amortir l'effet de vague, le couvercle (coupole) du réservoir risque d'être endommagé par les mouvements de l'eau.
Dans notre cas, la création des vagues est peu influente, car le pareis tronconique diminue les vagues, ainsi que la cheminée qui joue le rôle de brise-vagues.
- D'après le tableau comparatif ci-dessus, on voit que l'action hydrodynamique et son effet engendrent sur la structure portante (le fût) des efforts supplémentaires non négligeables d'où une augmentation du taux de travail du béton et de l'acier. A notre avis, il faut pas négliger ces efforts supplémentaires pour des réservoirs de capacité supérieure à 1000 m^3 .

CALCUL DE
LA TOUR

combinaisons des efforts

des vérifications seront faites d'après "MARIUS-DIVER" (calcul pratique des tours en béton armé) et conformément aux règles BA-68 et RPA-81

- Vérification sous les actions du 1^{er} genre

Les sollicitations dues aux actions d'ensembles à prendre en compte.

$$S_1^1 = G + P + V$$

$$S_1^2 = G + V$$

$$S_1^3 = G + 1.2P$$

on doit vérifier que : $\sigma_{b'm}(S_1^1, S_1^3) \leq 0.3 \sigma_{28} = 0.3 \cdot 306 = 92 \text{ kg/cm}^2$

$$\sigma_a(S_1^2) \leq \min \left\{ \begin{array}{l} \frac{2}{3} \sigma_{en} \\ \sigma_2 \text{ (résultant des conditions de fissuration)} \end{array} \right.$$

- Vérification sous les actions du 2^{ème} genre

Les sollicitations à prendre en compte :

$$S_2^1 = 1.1G + 1.1P + 1.1W$$

$$S_2^2 = 0.9G + 0.9P + 1.1W$$

$$S_2^3 = G + P + S_I$$

$$S_2^4 = 0.8G + S_I$$

La contrainte sur béton dans le sens vertical doit vérifier :

$$\left. \begin{array}{l} \sigma_b(S_2^1) \\ \sigma_b(S_2^3) \end{array} \right\} \leq 1.5(92) = 138 \text{ kg/cm}^2$$

La contrainte de l'acier dans le sens vertical doit vérifier :

$$\left. \begin{array}{l} \sigma_a(S_2^2) \\ \sigma_a(S_2^4) \end{array} \right\} \leq \sigma_{en} = 4200 \text{ kg/cm}^2$$

Nota : l'absence des gaz nocifs diminue les risques de corrosion du béton et de l'acier ce qui permet d'augmenter la valeur des contraintes admissibles. Les règles pour la construction des tours en béton armé qui reposent dans les grandes lignes les prescriptions des règles en vigueur B.A pour la construction des cheminées en B.A admettent les contraintes suivantes :

Béton : Sollicitations 1^{er} genre : $0.4 \sigma_{28}$

" 2nd genre : $0.6 \sigma_{28}$

Acier : " 1^{er} genre : $0.7 \sigma_{en}$ (enfissuration)

" 2nd genre : σ_{en}

cuve vide

solicitation du premier genre

T₁

cote Z(m)	G + P + V				G + V				G + 12 P			
	M t.m	N t	T t	e = M/N	M t.m	N t	T t	e = M/N	M t.m	N t	T t	e = M/N
21.00	54.33	715.72	12.58	0.076	54.33	672.50	18.58	0.081	0	724.36	0	0
19.50	79.47	735.87	13.03	0.108	79.47	692.65	138.03	0.115	"	744.51	"	"
17.50	100.98	766.18	13.73	0.132	100.98	722.96	13.73	0.140	"	774.82	"	"
14.50	150.24	806.47	14.67	0.186	150.24	763.25	14.67	0.197	"	815.11	"	"
11.00	216.94	856.93	15.71	0.253	216.94	813.71	15.71	0.267	"	856.56	"	"
8.50	269.72	890.50	16.40	0.289	269.72	847.68	16.40	0.318	"	902.59	"	"
5.50	337.67	934.24	17.17	0.361	337.67	891.02	17.17	0.379	"	946.33	"	"
2.50	409.58	974.53	17.90	0.420	409.58	931.31	17.90	0.440	"	979.91	"	"
0.00	471.58	1008.11	18.45	0.468	471.75	964.88	18.45	0.489	"	1013.48	"	"
-2.50	535.22	1048.72	18.98	0.510	535.22	1005.50	18.98	0.532	"	1054.10	"	"

- cuve vide

Sollicitation du deuxième genre

T₂

note	0,9G + 0,9P + 1,1W				G + P + S				1,1(G + P+W)			
Z (m)	M t.m	N t	T t	e = M/N	M t.m	N t	T t	e = M/N	M t.m	N t	T t	e = M/N
21.00	104.59	644.15	24.22	0.162	1038.98	715.72	127.54	1.452	104.59	787.29	24.22	0.133
19.50	152.98	664.29	25.18	0.230	1238.80	735.87	130.34	1.675	152.98	809.45	25.18	0.189
	194.39	691.57	26.43	0.281	1497.41	766.18	133.78	1.954	194.39	842.79	26.43	0.231
	289.21	727.83	28.24	0.397	1906.28	806.47	138.33	2.364	289.21	887.11	28.24	0.326
	417.61	773.24	30.24	0.539	2398.80	856.93	142.71	2.789	417.61	942.61	30.24	0.443
	519.21	803.46	31.57	0.646	2723.06	890.50	145.92	3.058	519.21	979.54	31.57	0.530
	650.01	842.83	33.05	0.771	3198.48	934.24	147.56	3.424	650.01	1027.66	33.05	0.633
	788.44	879.91	34.46	0.896	3643.80	974.53	149.16	3.739	788.44	1071.97	34.46	0.736
	908.12	909.30	35.52	0.998	4017.77	1008.11	149.92	3.985	908.12	1108.91	35.50	0.820
	1030.20	934.52	36.54	1.097	4393.01	1048.72	150.18	4.189	1030.30	1153.58	36.54	0.893

cave platee

solicitation du 1^{er} genre

T-3

cote \bar{z} (m)	G + P + V				G + V				G + 1,2P			
	M t.m	N t	T t	e = M/N	M t.m	N t	T t	e = M/N	M t.m	N t	T t	e = M/N
21.00	60.16	2231.13	13.80	0.027	6016	2187.91	13.80	0.027	0	2239.77	0	0
19.50	88.26	2251.98	14.36	0.039	88.26	2208.06	14.36	0.040	"	2259.92	"	"
17.50	112.15	2281.59	15.09	0.049	112.15	2238.37	15.09	0.050	"	2290.23	"	"
14.50	166.85	2321.89	16.14	0.072	166.85	2278.66	16.14	0.073	"	2330.52	"	"
11.00	240.96	2372.33	17.30	0.102	240.96	2329.12	17.30	0.103	"	2380.97	"	"
8.50	299.60	2405.91	18.08	0.125	299.60	2362.69	18.08	0.127	"	2414.55	"	"
5.50	375.12	2449.65	18.96	0.153	375.12	2406.43	18.96	0.156	"	2454.84	"	"
2.50	455.00	2489.94	19.77	0.183	455.00	2446.72	19.77	0.186	"	2488.41	"	"
0.00	524.10	2523.51	20.39	0.208	524.10	2480.30	20.39	0.211	"	2521.99	"	"
-2.50	594.64	2564.13	20.69	0.232	594.64	2520.91	20.69	0.236	"	2562.60	"	"

cuve pleine

Sollicitation du deuxième genre

T-4

cote $Z(m)$	0.9 G + 0.9 P + 1.1 W				G + P + S				1.1 (G + P+W)			
	M t _m	N _t	T _t	e=M/N	M t _m	N _t	T _t	e=M/N	M t _m	N _t	T _t	e=M/N
21.00	115.81	2008.02	26.57	0.058	1058.52	2231.13	299.88	0.474	115.81	2454.24	26.57	0.047
19.50	169.90	2026.15	27.64	0.084	1558.41	2251.28	301.96	0.692	169.90	2476.40	27.64	0.069
17.50	215.89	2053.47	29.05	0.105	2224.93	2281.59	304.51	0.975	215.89	2509.74	29.05	0.086
14.50	321.19	2089.73	31.07	0.154	3618.58	2321.89	307.88	1.558	321.19	2554.06	31.07	0.126
11.00	463.85	2135.14	33.30	0.217	4391.12	2372.35	312.99	1.851	463.85	2609.56	33.30	0.178
8.50	576.73	2165.35	34.80	0.266	5224.05	2405.92	313.13	2.171	576.73	2646.50	34.80	0.218
5.50	722.11	2204.72	36.49	0.328	6224.05	2449.66	314.78	2.541	722.11	2694.61	36.49	0.268
2.50	875.88	2240.98	38.07	0.391	7223.83	2489.94	315.91	2.901	875.88	2738.93	38.07	0.320
0.00	1008.89	2271.20	39.25	0.444	8056.98	2523.51	316.48	3.193	1008.89	2775.86	39.25	0.363
-2.50	1144.68	2308.46	39.83	0.496	8890.13	2564.13	316.67	3.467	1144.68	2820.54	39.83	0.406

T-5

$\gamma_{\text{ext}}^{\text{p}}$ $\gamma_{\text{ext}}^{\text{e}}$ (m)	0,8G + S			
	M	N	T	e
21.00	957.69	538.00	127.54	1.78
19.50	1136.75	554.12	130.34	2.051
17.50	1391.17	578.37	133.78	2.405
14.50	1758.78	610.60	138.33	2.880
11.00	2213.57	650.97	142.71	3.400
8.50	2546.14	677.83	145.22	3.756
5.50	2951.88	712.82	147.56	4.141
2.50	3362.97	739.68	149.16	4.546
0.00	3708.19	766.54	149.92	4.813
-2.50	4054.57	799.03	150.18	5.074

$\gamma_{\text{ext}}^{\text{p}}$ $\gamma_{\text{ext}}^{\text{e}}$ (m)	0,8G + S			
	M	N	T	e
21.00	1058.52	1750.33	199.88	0.605
19.50	1558.41	1766.24	301.96	0.882
17.50	2224.93	1790.69	304.51	1.242
14.50	3618.58	1822.92	307.98	1.985
11.00	4391.12	1863.28	312.99	2.357
8.50	5224.27	1890.14	313.13	2.764
5.50	6224.05	1925.14	314.72	3.233
2.50	7223.83	1957.37	315.91	3.691
0.00	8056.98	1984.23	316.48	4.061
-2.50	8890.13	2016.72	316.67	4.408

Le noyau central d'une section annulaire de faible épaisseur est donné par un cercle concentrique à la section du rayon

$$e_i = \frac{D_m}{4} = \frac{4.70}{4} = 1.425$$

Sous les sollicitations du 1^{er} genre (cuve vide ou pleine) La section sur toute la hauteur de la tour est entièrement comprimée car ($e < e_i$)

La contrainte de compression dans le béton étant inférieur à la contrainte admissible de compression σ_b du béton (voir T₇) donc sous les sollicitations du 1^{er} genre la tour sera ferrailleé d'un pourcentage minimale d'acier d'après les prescriptions du cahier de charges applicable à la construction de la cheminée en B.A (Annales ITBP Art.71) Soit

$$\text{Sens horizontal : } I(W_i + W_e) = 0.25\%$$

$$\text{Sens vertical : } I(W_i + W_e) \leq 0.25\%$$

L'effet le plus défavorable est obtenu sous les sollicitations du 2nd genre, néanmoins on a préféré, en ce qui concerne les sollicitations du 1^{er} genre indique le pourcentage minimale d'acier qu'il aurait fallu adopté dans le cas où ces mêmes sollicitations auraient été prépondérantes sur celle du 2nd genre (avec bien sûr pour les sollicitations du 1^{er} genre section entièrement comprimée et $\sigma_{bm} < \sigma_b$).

Donc les valeurs $I(W_i + W_e)$ données ci-dessous sont données seulement à titre indicatif

On signale que dans le cas des sollicitations du 1^{er} genre (section entièrement comprimée), la contrainte maximale dans le béton est calculée d'après la formule utilisée pour les matériaux homogènes.

$$\sigma_{bm}' = \frac{N}{A} + \frac{M}{W} \quad W = I/y$$

A et I sont respectivement l'aire et le moment d'inertie de la section annulaire de béton homogénéisée

$$W = \pi R_m^2 \cdot h_0$$

$$A = 2\pi R_m e$$

$$h_0 = 30\text{cm} \quad (\text{épaisseur du fût})$$

$$R_m = \text{rayon moyen du fût}$$

Le tableau ci-dessous donne les contraintes σ_{bm}' ainsi calculées

Sollicitation du premier genre

T-6

	caractéristiques de la section.	Curve vide						Curve pleine.					
		G + P + V		G + V		G + 1.2 P		G + P + V		G + V		G + 1.2 P	
Z (m)	σ (cm^2) (10^3)	$\frac{I}{V}$ (cm^6) (10^5)	σ'_b	σ'_{b_2}									
21.00	53,72	76.55	14.03	12.61	13.21	11.81	13.48	13.48	42.31	40.75	41.51	39.95	41.69
19.50	"	"	14.74	12.66	13.93	11.85	13.86	13.16	43.06	40.76	42.25	39.95	42.06
17.50	"	"	15.58	12.94	14.78	12.14	14.42	14.48	43.93	41.01	43.13	40.21	42.63
14.50	"	"	16.63	12.30	16.17	12.25	15.17	15.17	45.40	41.04	44.60	40.24	43.38
11.00	"	"	18.78	13.13	17.98	12.82	16.11	16.11	47.30	41.02	46.50	40.28	44.32
8.50	"	"	20.10	13.06	19.29	12.25	16.80	16.80	48.70	40.88	47.89	40.07	44.95
5.50	"	"	21.80	12.98	21	12.19	17.62	17.62	50.70	40.70	49.70	39.90	45.70
2.50	"	"	23.49	12.79	22.69	11.99	18.24	18.24	52.29	40.41	51.49	39.61	46.32
0.00	"	"	24.93	12.61	24.12	11.80	18.87	18.87	53.82	40.14	53.01	39.33	46.95
-2.50	"	"	26.51	12.53	25.71	11.73	19.62	19.62	55.49	39.97	54.64	39.17	47.76

Sollicitation du deuxième genre

T-7

	Caractéristiques		Cuve Vide			Cuve pleine				
	de la section	1,1 (G + P + W)	0.9 (G + P) + 1,1 W	1,1 (G + P + W)	0.9 (G + P) + 1,1 W					
$Z(m)$	$I_v (cm^3)$	$\frac{I}{V} (cm^3)$	G_b' kg/cm ²	G_b'' kg/cm ²						
21.00	53.78 10^3	76.55 10^5	13.36	10.62	16.03	13.29	47.20	44.18	38.89	36.37
19.50	"	"	14.36	10.08	17.06	13.08	48.82	43.88	39.94	35.50
17.50	"	"	15.41	10.33	18.23	13.15	49.54	43.90	41.05	35.41
14.50	"	"	17.32	9.78	20.28	12.74	51.74	43.34	43.10	34.70
11.00	"	"	19.84	8.94	23.00	12.10	54.64	42.52	45.81	33.69
8.50	"	"	24.18	8.18	25.01	11.45	56.79	41.73	47.84	32.78
5.50	"	"	21.74	7.2	27.62	10.64	59.59	40.73	50.47	31.61
2.50	"	"	21.18	6.09	30.24	9.66	62.43	39.55	53.16	30.28
0.00	"	"	28.79	5.07	32.50	8.78	64.85	38.49	55.46	28.90
-2.50	"	"	30.85	3.95	34.92	8.02	67.45	37.55	57.92	28.02

Pour les sollicitations du 2^e genre données par

$$G + P + S_{lb} \quad 0.8 G + S_{lh}$$

Et dans les deux cas envisagés (cuve vide et pleine), la section transversale de la tour n'est plus entièrement comprimée sur toute la hauteur de la tour, mais en regardant les tableaux pour la presque totalité des sections considérées, l'excentricité ϵ de la force verticale soit du noyau central ($\epsilon_c = 1.425$), ce qui fait que la section est partiellement comprimée ou partiellement décomprimée.

Donc c'est cette sollicitation du 2^e genre qui est déterminante pour le ferrailage de la tour du support.

Le ferrailage sera calculé pour les deux cas (cuve vide et pleine) et par suite on adoptera le ferrailage calculé dans le cas de la cuve pleine puisque c'est ce dernier qui est déterminant.

Le calcul se fait d'après MARIUS-DIVÉ

$$\text{Le principe est le suivant : on calcule } a = \frac{M}{N \cdot R_m}$$

avec M : moment fléchissant d'ensemble

N : Effort normal

R_m : rayon moyen du fût

a : excentricité relative

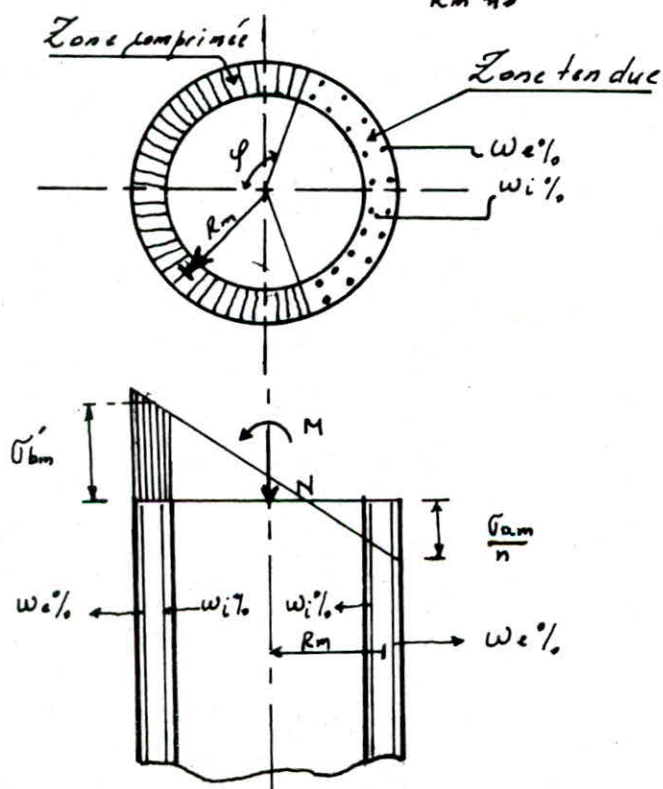
on se place : $\Sigma W = W_e + W_i$

on tire du tableau C_f les de charge A (sollicitations d'ensembles) sans vertical

$$\varphi \approx b \approx s$$

Il en résulte

$$\sigma_{bm}' = \frac{N \cdot b}{R_m \cdot s} \quad \sigma_{am} = n \cdot s \cdot \sigma_{bm}'$$



SOLlicitation du deuxième genre

T. 8

note	~ cuve vide							~ cuve pleine								
	G + P + S _{sh}							0.8 G + S _{sh}								
Z (m)	e (m)	a	$\Sigma w\%$	b	φ°	s	σ_b'	σ_{am}	e (m)	a	$\Sigma w\%$	b	φ°	s	σ_b'	σ_{am}
21.00	1.458	0.509	0.25	0.312	168	0.011	26.12	4.31	1.78	0.625	0.25	0.361	128	0.238	22.72	81.11
	1.675	0.588	"	0.3996	139.38	0.137	28.92	59.43	2.051	0.720	"	0.410	110	0.490	26.57	195.29
	1.954	0.686	"	0.385	117.94	0.362	34.50	187.34	2.405	0.844	"	0.500	90	1.000	33.82	507.2
	2.364	0.829	"	0.482	92	0.933	46.03	644.19	2.880	1.011	"	0.644	73	1.828	45.99	1260.70
	2.789	0.979	"	0.614	75.60	1.663	61.54	1535.11	3.400	1.193	"	0.743	68.40	2.486	56.57	2426.85
	3.058	1.073	"	0.698	69	2.104	72.69	2294.10	3.756	1.318	"	0.902	59.30	2.839	71.51	3045.21
	3.424	1.201	"	0.743	63	2.664	84.69	3385.48	4.141	1.453	0.40	0.899	62.83	2.683	74.95	3016.38
	3.739	1.312	0.35	0.834	64	2.561	95.06	3651.71	4.546	1.595	0.40	0.992	60.36	2.958	85.92	3807.83
	3.985	1.398	0.35	0.860	63	2.665	101.40	4053.46	4.838	1.698	0.50	1.009	61.89	2.782	90.46	3774.89
	4.189	1.470	"	0.889	64	2.501	109.04	4183.96	5.074	1.780	0.55	1.020	63.30	2.634	95.29	3764.22

Sollicitation du deuxième genre

calcul de A_e et A_i

La section A correspondant au pourcentage total d'acier $\Sigma w = w_e + w_i$ est calculée à partir de l'expression :

$$A = \frac{\Sigma w \cdot \pi \cdot R_m h_0}{100}$$

$$h_0 = 30 \text{ cm} \quad R_m = 2.85 \text{ m}$$

$$100$$

ferraillage dans le sens transversal (cerces)

D'après "M. Diver" l'effort tranchant produit des cisaillement

$$T_b = H \cdot (bZ) = \frac{H}{1.6 D_m h_0} \quad \text{on considère que } Z \approx 0.8 \text{ Dm}$$

et la largeur soumise au cisaillement (du béton) $b = 2h_0$

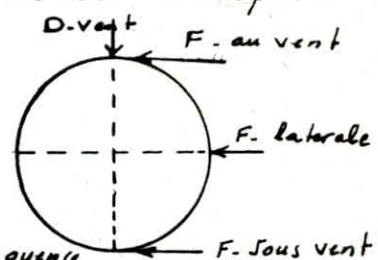
Le cisaillement fissure le béton à 45° , l'équilibre étant assuré par les bielettes comprimées à 45° et les parois transversales. Il en résulte une traction dans les cerces

$$\sigma_{am} = \frac{100H}{1.6 D_m \Sigma w h_0}$$

cette contrainte maximale due à l'effort tranchant correspond à la face latérale de la cheminée

L'effort tranchant le plus important dans notre cas est due au séisme, cas de la cuve pleine (sollicitation d'ensemble du 2^{me} genre $G + P + S_2$)

Le ferraillage en cercle se fera donc en conséquence



$$H = T = 316.67 t$$

Dans le cas des sollicitations du 2^{me} genre l'effort tranchant est majoré de 1.925, d'après M. Diver

$$\text{d'où } 316.67 \times 1.925 = 609.59 t = H$$

$$\Sigma w = w_e + w_i = 0.6\%$$

La contrainte de traction dans les cerces est alors.

$$\sigma_{am} = \frac{100 \times 609.59 \cdot 10^3}{1.6 \cdot 570 \cdot 0.6 \cdot 30} = 3713.39 \text{ kg/cm}^2 < 4200 \text{ kg/cm}^2$$

La section d'acier nécessaire est : $A = w_h o = 0.6 \times 30 = 18 \text{ cm}^2/\text{ml}$

$$A_i = A_e = \frac{18}{2} = 9 \text{ cm}^2/\text{ml} \quad (2 \times 4) T_{12}/\text{ml}$$

on prendra donc sur toute la hauteur de la tour $(2 \times 4) T_{12}/\text{ml}$ de hauteur avec un espace t = 20 cm

La longueur de recouvrement $l_r = 50 \phi_{max} = 50 \times 1.2 = 60 \text{ cm}$

Le ferrailage de la tour, armatures dans le sens vertical, d'après l'effet le plus défavorable des sollicitations d'ensemble ($G + P + S_{th}$) dans le cas de la cuve pleine

Z	$w_e \%$	$w_i \%$	$A_c (cm^2)$	$A_i (cm^2)$	A_c adopté	A_i adopté
21.00	0.125	0.125	67.50	67.50	90 HA 12	90 HA 12
19.50	"	"	"	"	"	"
17.50	"	"	"	"	"	"
14.50	"	"	"	"	"	"
11.50	"	"	"	"	"	"
8.50	0.125	0.125	"	"	"	"
5.50	0.125	0.25	134.30	134.30	90 HA 14	90 HA 14
2.50	0.325	0.325	174.59	174.59	90 HA 16	90 HA 16
0.00	0.475	0.475	255.18	255.18	90 HA 20	90 HA 20
-2.50	0.50	0.50	268.61	268.61	90 HA 20	90 HA 20

Vérification de la tour aux effets secondaires (moment d'ovalisation)

Les moments d'ovalisations sont donnés dans le tableau précédent parmi les sections étudiées de la tour, la plus sollicitée est celle située à 21,00 m.

$$\begin{aligned} \text{Vent normale} \quad M_{0i} &= 181.94 \text{ t.m} \\ M_{0e} &= 160.47 \text{ t.m} \end{aligned}$$

$$\begin{aligned} \text{Vent exceptionnel} \quad M_{0i} &= 318.40 \text{ t.m} \\ M_{0e} &= 280.82 \text{ t.m} \end{aligned}$$

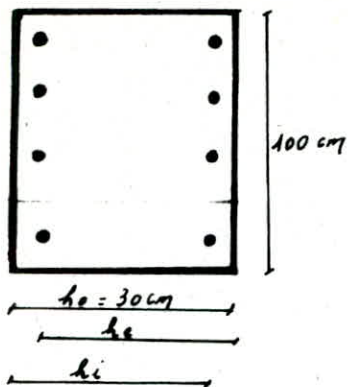
Chaque tronçon de l'ouvrage de section annulaire est en équilibre sous l'action de la pression locale du vent (P), et des cisaillement (T) engendré dans l'épaisseur de la paroi.

Les efforts P et T produisent les moments fléchissants d'ovalisations

$$M_o = K_g \delta_0 D_m^2$$

Comme c'est le vent qui donne ces moments, les vérifications seront faites seulement pour le vent extrême.

D'après les calculs fait précédemment on aurait 4 TIC/m² sur la fibre extérieure et 4 TIC/m² sur la fibre intérieure.



$$M_{oc} = 280.82 \text{ dan.m}$$

$$\bar{\sigma}_b' = 1.50 \times 150 = 225 \text{ kg/cm}^2$$

$$h_e = 30 - 4 = 26 \text{ cm}$$

$$\alpha = \frac{n \bar{\sigma}_b'}{n \bar{\sigma}_b + \bar{\sigma}_a} = \frac{15.225}{15.225 + 4200} = 0.445$$

$$M_r = \frac{1}{2} \bar{\sigma}_b' b \alpha \left(1 - \frac{\alpha}{3}\right) h_e^2$$

$$= \frac{1}{2} 225 \cdot 100 \cdot 0.45 \left(1 - \frac{0.45}{3}\right) (26)^2$$

$$= 28822.32 \text{ dan.m} \gg M_{oc}$$

donc on a pas besoin d'acier comprimé.
La portion d'acier nécessaire (cercles)

$$A_{acc} = \frac{M}{\delta \bar{\sigma}_a} = \frac{280.82 \cdot 10^2}{7/8 \cdot 26.4200} = 0.29 \text{ cm}^2$$

$$\delta = 7/8 \cdot h_e$$

Remarque : $A_{acc} \ll 4 \text{ Tm}$

* $M_{oi} = 31840 \text{ dan.cm}$

$$A = \frac{31840}{7/8 \cdot 26.4200} = 0.33 \text{ cm}^2 \ll 4 \text{ Tm}$$

Donc les aciers circulaires de la tour sont très suffisant pour reprendre les moments d'ovalisations.

Calcul des dalles de repos.

$$a = 2.70 \text{ m}$$

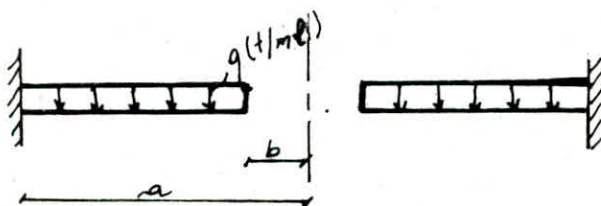
$$b = 1.70 \text{ m}$$

on a une plaque circulaire encastrée sur le pourtour du fût et chargée uniformément et comportant une ouverture au centre du fût de 1.70 m de rayon.
La plaque circulaire est soumise à son poids propre et une surcharge d'exploitation estimée à 150 kg/m².

$$\text{poids propre} \quad \dots \quad 0.1 \cdot 1.5 = 0.25 \text{ t/m}^2$$

$$\text{Surcharge d'exp} \quad \dots \quad 1.2 \cdot 1.5 = 0.18 \text{ t/m}^2$$

$$g = 0.43 \text{ t/m}^2$$



Les efforts sont calculés à l'aide des tables de Barres pour les dalles circulaires (T-1 P. 443)

$$Effort tranchant \quad Tr = \frac{9a}{2} \left(f - \beta^2 \frac{1}{f} \right)$$

$$moment radiale \quad Mr = \frac{9a^2}{16} \left[(1+\mu) (1-\kappa) + 4\beta^2 (3+\mu) f^2 - (1-\mu) \frac{\kappa}{f^2} + \gamma' \right]$$

$$\gamma' = 4(1+\mu) \beta^2 \log f$$

$$My = \frac{9a^2}{16} \left[(1+\mu) (1-\kappa) + 4\mu \beta^2 - (1+3\mu) f^2 + (1-\mu) \frac{\kappa}{f^2} \kappa + \gamma' \right]$$

$$\gamma' = 4(1+\mu) \beta^2 \log f^2$$

$$\kappa = \frac{(1-\mu) \beta^2 + (1+\mu) (1+4\beta^2) \log \beta}{(1+\mu) + (1+\mu) \beta^2}$$

$f = \frac{r}{a}$ distance relative du point étudié

a : rayon du bord extérieur de la dalle

b : " de l'ouverture de la dalle

$\beta = \frac{b}{a}$: grandeur relative de l'ouverture de la dalle

μ : coefficient de poisson ($\mu = 0.15$)

$$\beta = 0.6296$$

$$\kappa = 0.34013$$

$r(m)$	$Tr(t/m)$	$Mr(t.m/m)$	$My(tm/m)$
$r=b=1.70$	0	$9.76 \cdot 10^{-6} \approx 0$	0.154
$r=a=2.70$	-0.350	-0.214	-0.145

Armature radiale

$$Mr = -0.214 \text{ t.m/m}$$

$$ht = 10 \text{ cm} \rightarrow h = 8 \text{ cm}$$

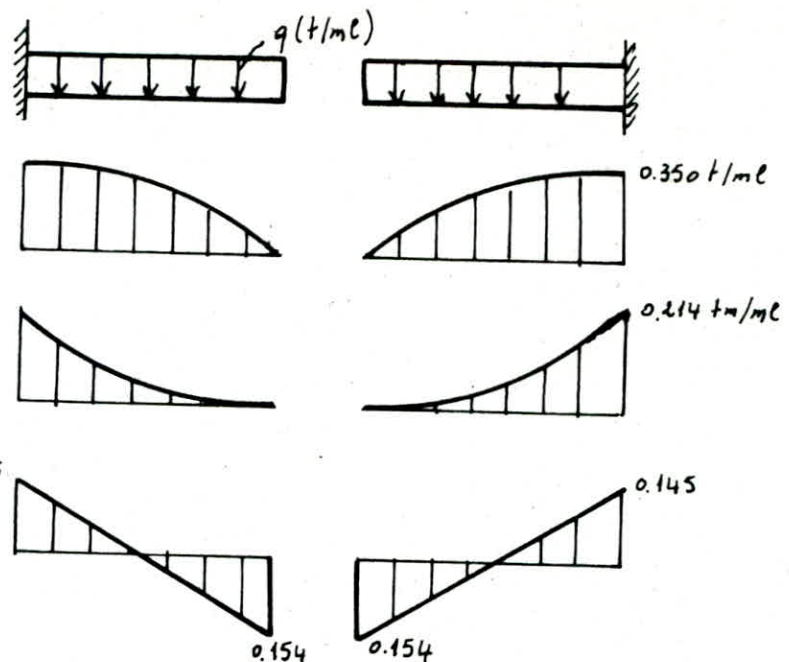
$$b = 100 \text{ cm} \quad \sigma_a = 2800 \text{ kg/cm}^2$$

$$\mu = \frac{15 Mr}{\sigma_a b h^2} = 0.0179 \quad E = 0.941 \quad K = 69.75$$

$$A = \frac{M}{\sigma_a E h} = 1.08 \text{ cm}^2 \rightarrow (3T8 \text{ cm}^2/\text{m})$$

pour My la section est d'autant plus faible, donc nous adopterons un ferrailage minimum de 0.25% ainsi que pour Tr, Mr

$$\text{donc } A = 0.25 \times 10 = 2.5 \text{ cm}^2/\text{m} \quad \text{soit } 5T8/\text{m} = 2.51 \text{ cm}^2/\text{m}$$



Etude au niveau des ouvertures.

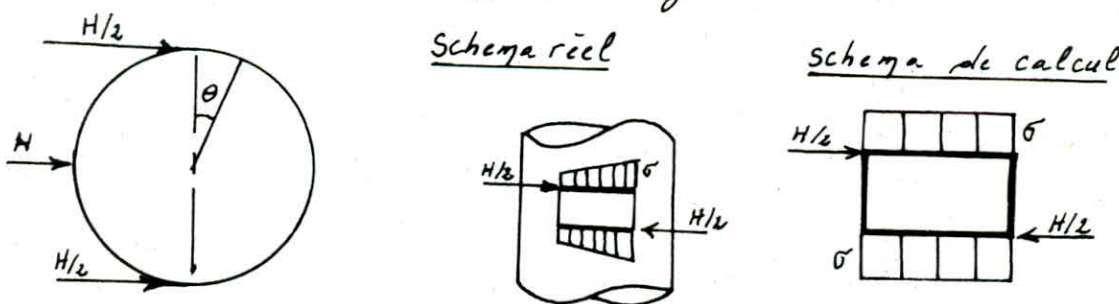
Autour des ouvertures des voiles, il est conseillé de prévoir un renfort qui doit participer à la transmission du moment fléchissant et de la charge permanente N produisant des contraintes dans la section du fût non percé au dessous de l'ouverture, ainsi que de l'effort tranchant T évalué dans les mêmes sections.

Etude du cadre incorporé

On suppose successivement deux hypothèses non superposées concernant la direction du vent ou du séisme

Hypothèse 1

On considérera le renfort comme un cadre fermé devant équilibrer les efforts horizontaux



On devra s'assurer que les éléments verticaux et horizontaux du cadre sont capables de résister au moment fléchissant et à l'effort tranchant

Les moments agissant sur chaque poteau du cadre

$$M_f = H' \frac{d}{2}$$

$$H' = \frac{H}{4\lambda}$$

$$\lambda = r \frac{\sqrt{R_c^2 + b^2}}{R_c^2} - b \frac{\sqrt{R_c^2 - r^2}}{R_c^2}$$

$b = l/2$ l : étant la largeur de l'ouverture

$R_e = \frac{D_e}{2}$ r : $R_e - b$

R_e : rayon extérieur du fût $R_e = 3\text{ m}$

$$b = \frac{0.80}{2} = 0.40\text{m}$$

donc $\lambda = 0.834$

$$H' = 0.2998 H \longrightarrow M_f = 0.30H$$

Le ferrailage qui borde l'ouverture $A_1 = \frac{M_f}{\bar{\sigma}_a z_1}$

$$z_1 = \frac{2}{3} h = \frac{2}{3} 2.62 = 1.75\text{m}$$

$$\Rightarrow A_1 = 0.172 \frac{H}{\bar{\sigma}_a} \quad H(\text{vent}) = 20.69\text{t} \quad \bar{\sigma}_a = 1219\text{t}$$

$$H(\text{seisme}) = 316.67\text{t} \quad \bar{\sigma}_a = 4200\text{t}$$

$$A_v = 2.92 \text{ cm}^2 \quad \text{Soit } A_1 = 15.70 \text{ cm}^2$$

$$A_s = 12.97 \text{ cm}^2$$

5 HA 20

Ces armatures seront disposées en bordure sur une largeur de $0.15 h = 40\text{cm}$, répartis en 2 nappes et sur le reste de la largeur $0.85 h = 2.23\text{m}$

on prend le maximum de: $1.5 A_s = 23.55 \text{ cm}^2$

le ferrailage verticale majoré de 20% sur $0.85 h$

$$0.85 \times 262 \times 1.2 \times 1 \times \frac{30}{100} = 80.17 \text{ cm}^2$$

Soit 26 HA 20 (en 2 nappes) sur 2.23m

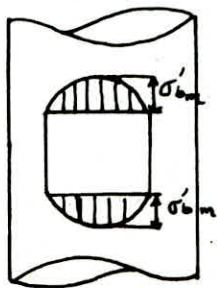
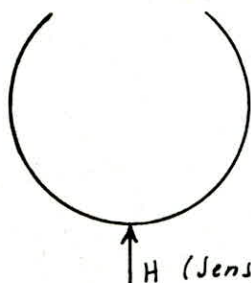
Hypothèse B

Le linteau est soumis à une compression

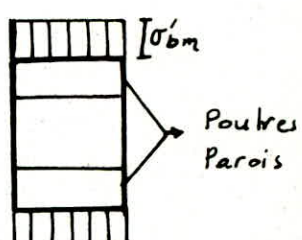
$$f = \begin{cases} 0.6\text{m} (\text{vent}) & = 53.16 \text{ kg/cm}^2 \\ 0.6\text{m} (\text{seisme}) & = 167.16 \text{ "} \end{cases}$$

donc la charge sur la poutre paroi est:

$$f_{ho} = \begin{cases} \text{Vent} : 159.48 \text{ t/m} \\ \text{Seisme} : 501.48 \text{ t/m} \end{cases}$$



Schema réel



Schema de calcul

on prendra en compte les contraintes maximales de compression
établies sur toute la largeur de l'ouverture, les forces
dûes à ces contraintes sont transmises aux éléments verticaux
à l'aide de la poutre paroi constituée par les éléments
horizontaux de l'ouverture

$$M_o = (\rho_{ho}) \frac{fL}{8} \quad l = 0.80 \text{ m}$$

$$M_o = \begin{cases} S_{P_1} (\text{vent}) \\ S_{P_2} (\text{vent}) \end{cases} = \begin{cases} 12.76 \text{ t.m} \\ 50.77 \text{ t.m} \end{cases}$$

$$\text{Le ferrailage } A_L = \frac{M_o}{\sigma_a z_L} \quad S_{P_1} = 9.52 \text{ cm}^2 \\ z_L = \frac{\pi}{3} 1.65 = 1.1 \text{ m} \quad S_{P_2} = 10.99 \text{ cm}^2$$

Soit 4 T60 disposées sur une hauteur de $0.15 h = 0.15 \times 165 = 25 \text{ cm}$
en deux nappes dont une prolongée sur la circonference
du fût
Sur le reste de la hauteur de $0.85 h = 141 \text{ cm}$.

on dispose le maximum de : $1.5 A (S_{P_2}) = 1.5 \times 12.56 = 18.84 \text{ cm}^2$

$$\text{Le ferrailage courant horizontal} \\ 0.85 \times 165 \times 0.6 \frac{30}{100} = 25.25 \text{ cm}^2$$

on adopte une section $A_2 = 25.25 \text{ cm}^2$ soit 8H20
sur une hauteur de 100cm en deux nappes
Longueur de cette paroiature : $d + 4ld$..

$$ld = \frac{\phi}{4} \cdot \frac{\bar{\sigma}_a}{\bar{\sigma}_{ld}} = \frac{\frac{2}{4}}{\frac{1219}{18}} = 33.85 \text{ cm} \quad \text{on prend } ld = 40 \text{ cm} \\ \text{donc } d + 4ld = 3.60 \text{ m.}$$

Contrainte de cisaillement de 2^{ème} genre

$$T_{max} = (\rho_{ho}) \frac{l}{2} = 501.48 \cdot 0.80 = 200.59 \text{ t}$$

$$\bar{T} = \frac{T}{b \cdot z} = \frac{200.59 \cdot 10^3}{30.7 / 165} = 46.31 \text{ kg/cm}^2$$

Contrainte de cisaillement acceptable

$$\bar{T} = 3.5 \bar{\sigma}_b = 3.5 \cdot 6.25 = 21.88 \text{ kg/cm}^2$$

Contrainte de cisaillement tolérable

$$T = 5 \times 6.25 = 31.25 \text{ kg/cm}^2$$

Pour la contrainte du 2^{ème} genre $\bar{T} = 1.5 \times 31.25 = 46.88 \text{ kg/cm}^2$

donc le cisaillement est vérifié $T < \bar{T}$

Verification au renversement

on doit ajouter au moment M au niveau de la fondation (base du fût) le moment d'ensOLEILlement, le moment secondaire dû à l'action du seisme

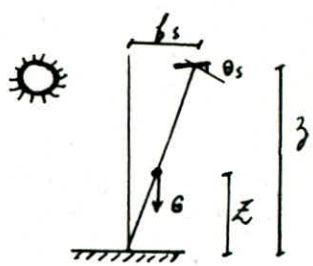
moment d'ensOLEillement

$$M_s = C_s \cdot G \quad \text{avec} \quad C_s = f_s (\frac{z}{z})^2$$

G : poids de l'ouvrage

$$f_s: \text{fleche au sommet} = \frac{z \theta_s}{6}$$

θ_s : rotation due à l'ensOLEillement



$$\theta_s = \frac{\Delta T \cdot z}{D e}$$

T : difference de temperature entre la paroi exposée au soleil et la paroi abritée

$$T = 30^\circ$$

$\alpha = 10^{-5}$ module de dilatation linéaire

$$D e = 6,00 \text{ m}$$

$$\theta_s = \frac{10^{-5} \times 30 \times 37.90}{6} = 1.89 \cdot 10^{-3} \text{ rad}$$

$$f_s = 3.591 \cdot 10^{-2} \text{ m}$$

calcul de Z

$$\text{cuve vide : } Z = 13.81 \text{ m}$$

$$\text{cuve pleine : } Z = 20.86 \text{ m}$$

$$\text{donc } C_s = 3.591 \cdot 10^{-2} \left(\frac{13.81}{37.9} \right)^2 = 4.7679 \cdot 10^{-3} \text{ m}$$

$$M_s = (902,19 + 1048,72) \cdot 4.7679 \cdot 10^{-3} = 9.30 \text{ t.m}$$

Moment secondaire dû à l'action du seisme

$$f_g = 2.50 \text{ cm} \quad (\text{diagramme de la déformée})$$

$$M_{vs} = (902,19 + 1048,72) 2,5 \cdot 10^{-2} = 48,77 \text{ t.m.}$$

$$\text{donc } M_r = (9.30 + 48,77 + 4393,01) = 4451,08 \text{ t.m.}$$

moment stabilisant

$$M_s = (1950,91) \frac{16}{2} = 15607,28 \text{ t.m}$$

on prend un coefficient de sécurité $F_s = 2$

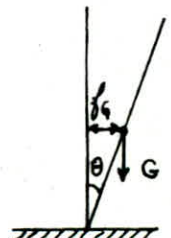
$$F = \frac{M_s}{M_r} = \frac{15607,28}{4451,08} = 3,49 > 2 \quad \text{Vérifié} \rightarrow [G + P + S_{sh}]$$

$$F = \frac{15607,28}{4451,08} = 3,36 > 2 \quad \rightarrow [0,8G + S_{sh}]$$

Cuve pleine

$$C_s = 1.09 \cdot 10^{-2} \text{ m}$$

$$M_{sp} = 1.09 \cdot 10^{-2} [(902,19 + 1048,72) + 1515,41] = 37,78 \text{ t.m}$$



Moment secondaire dû à l'action du seisme

$$f_g = 3,50 \text{ cm}$$

$$M_{ps} = (3466,32) 3,5 \cdot 10^{-2} = 121,32 \text{ t.m}$$

Combinaison G + P + S_{Ih}

$$N = 2564.13 \text{ t}$$

$$M = 8890.13 \text{ t.m}$$

$$T = 316.67 \text{ t}$$

$$Mr = (121.32 + 37.78 + 8890.13) = 9049.23 \text{ t.m}$$

$$Ms = (2564.13 + 902.19) \frac{16}{2} = 27730.56 \text{ t.m}$$

$$F = \frac{27730.56}{9049.23} = 3.06 > 2$$

Combinaison 0.86 + S_{Ih}

$$N = 2016.72 \text{ t.}$$

$$M = 8890.13 \text{ t.m}$$

$$T = 316.67 \text{ t}$$

$$Mr = (37.79 + 121.32 + 8890.13) = 9049.23 \text{ t.m}$$

$$Ms = (2016.72 + 902.19) \frac{16}{2} = 23351.28 \text{ t.m}$$

$$F = \frac{23351.28}{9049.23} = 2.58 > 2$$

La stabilité de notre ouvrage est assuré dans tous les cas.

Vérification au glissement

La force résultante doit être inférieure à la force de frottement Sol-béton, donc il faut vérifier que: $\frac{F_h}{F_v} < f$

F_h : résultante des forces horizontales

$$\frac{F_h}{F_v} < f$$

F_v : " " verticales

f : coefficient de frottement (sol-béton) = 0.7

Cuve vide

$$F_h = 150.18 \text{ t} = T$$

$$F_v = 1950.91 \text{ t}$$

$$\frac{150.18}{1950.91} = 0.08 << 0.70$$

Cuve pleine

$$F_h = 316.67 \text{ t}$$

$$F_v = 3466.32 \text{ t}$$

$$\frac{316.67}{3466.32} = 0.091 << 0.70$$

La stabilité par rapport au glissement est assuré sans problème

FONDATION

Après examen du rapport du sol, les résultats qu'on peut en tirer sont les suivantes:

Les sondages réalisés jusqu'à 26m de profondeur n'ont traversé que des argiles marrons et de la grasse plaine d'Anjou dont la partie supérieure est jaune verdâtre.

On peut donc s'assurer d'une homogénéité certaine du sol jusqu'à la profondeur 26m au moins.

Aucun niveau d'eau n'a été repéré. Donc cette étude sera menée dans l'hypothèse que le sol est homogène jusqu'à cette profondeur.

D'après les essais penetrométriques statiques, la résistance du sol

$$\bar{\sigma}_a = 3.5 \text{ bar}$$

$$\gamma = 1.85 \text{ t/m}^3$$

$$\varphi = 11^\circ$$

$$c = 0.5 \text{ b}$$

Vu que les caractéristiques géotechniques sont bonnes et vu que les charges verticales et horizontales à la base de la fondation sont importantes, on a opté pour la solution d'un radier général.

Dimensionnement du radier

L'épaisseur du radier doit se déterminer par la condition de son poinçonnement

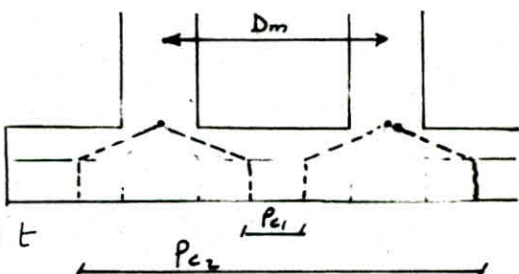
$$\frac{1.5 Q}{P_c \cdot h_t} \leq 1.2 \bar{\sigma}_a$$

$$P_{c_1} = D_m + h_t$$

$$P_{c_2} = D_m - h_t$$

$$Q = G + 1.2 P = 2564.13 \text{ t}$$

$$P_c = 2\pi D_m$$

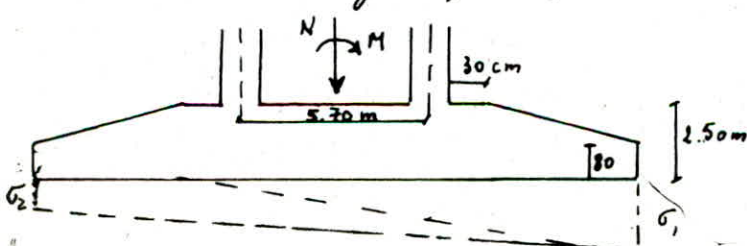


$$\text{d'où } h_t \geq \frac{1.5 Q}{2\pi D_m h_t} \longrightarrow h_t \geq 1.404 \text{ m}$$

on prendra une hauteur du radier $h_t = 2.50 \text{ m}$

Diamètre du radier

Le radier est sollicité à sa base par un effort normal N , un moment M on obtient le diagramme de contraintes suivants.



Puisque le sol ne travaille pas à la traction, il faut éviter le soublement du radier d'où $\sigma_{min} > 0$

Donc le diamètre doit vérifier $\sigma_{min} > 0$

$$\text{Poids des terres : } P_t = \gamma_t \left[\frac{\pi}{4} (D^2 - d^2) (\beta - h_t) + \frac{\pi}{4} (D^2 - d^2) \frac{1}{2} (h_t - h) \right]$$

$$N_t = P_t = 6.58 (D^2 - 36)$$

$$M = 8890.13 \text{ t.m}$$

$$N = 2564.13 \text{ t}$$

$$T = 316.67 \text{ t}$$

$$N_i = N + T/f$$

$$M_i = M + T h_f$$

$$N_i = 2636.88 + 3.24 D^2$$

$$M_i = 9681.81 \text{ t.m}$$

$$\sigma_{min} = \frac{N_i + N_t}{S} - \frac{M_i}{W} > 0$$

$$\frac{2636.88 + 3.24 D^2 + 6.58 (D^2 - 36)}{\frac{\pi}{4} D^2} - \frac{9681.81}{\frac{\pi}{32} D^3} > 0$$

$$D = 16 \text{ m}$$

$$\text{Donc } N_f = 902.19t \\ N_i = 3466.32t$$

Calcul de la capacité portante du sol avec la formule de TERzaghi

$$\sigma_a = \gamma D + \frac{0.6 \gamma R N_q + \gamma D (N_q - 1) + 1.3 C N_c}{3}$$

Le radier repose sur la marne plaisircienne $\varphi = 41^\circ$

$$\sigma_a = 3.71 \text{ b}$$

$$\begin{cases} N_g = 1.20 \\ N_q = 2.71 \\ N_c = 8.8 \end{cases}$$

on travaille avec $\sigma_a = 3.5 \text{ b} < 3.71 \text{ b}$ on est donc dans la sécurité

Vérification des contraintes dans le sol

$$\text{Aire en contact avec le sol} \quad S = \frac{\pi D^2}{4} = \frac{\pi \cdot 256}{4} = 201.10 \text{ m}^2$$

$$\text{module de résistance} \quad W = \frac{\pi D^3}{32} = \frac{\pi \cdot 16^3}{32} = 408.12 \text{ m}^3$$

Les contraintes sont doublées par : $\sigma_{max} = \frac{N_i + N_t}{S} \pm \frac{M_i}{W}$

Combinaison du 1^{er} genre

Cuve vide	G+V	G+P+V	G+1.2P	Cuve pleine	G+V	G+P+V	G+1.2P
σ_{max}	1.81	1.84	1.69	σ_{max}	2.58	2.60	2.44
σ_{min}	1.52	1.55	1.69	σ_{min}	2.26	2.28	2.44

combinations du second genre

C-V	$0.9(G+P)+1.1W$	$1.1(G+P+W)$	$G+P+S_{th}$	$0.8G+S_{th}$
σ_{max}	1.91	2.02	2.88	2.67
σ_{min}	1.35	1.46	0.50	0.46

C-P

σ_{max}	2.63	2.88	4.85	4.58
σ_{min}	2.01	2.26	0.36	-0.24

Verification

$$\text{pour } G+1.2P \quad \sigma_{max} \leq \sigma_a = 3.5b$$

. . Si $\sigma_{min} \geq 0$

$$\frac{3\sigma_{max} + \sigma_{min}}{4} \leq \begin{cases} 1.33\sigma_a = 4.66b & (G+P+V, G+V, 1.1(G+P+W), 0.9(G+P)+1.1W) \\ 1.5\sigma_a = 5.25b & (G+P+S_{th}, 0.8G+S_{th}) \end{cases}$$

Toutes ces combinaisons sont vérifiées.

. . Si $\sigma_{min} < 0$ on adopte un autre schéma statique et l'équilibre

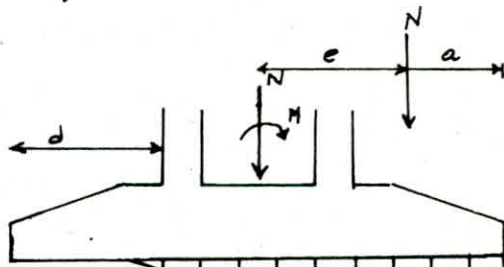
$$N = \frac{\sigma_i A}{2} = S \quad \sigma_i = \frac{2N}{A}$$

A : aire hachurée de la partie comprimée
se calcule graphiquement = 181.46 cm^2

* combinaison $G+P+S_{th}$

$$\sigma_i = \frac{2 \times 181.46}{181.46} = 5.42b < 5.25b$$

$$\sigma\left(\frac{l}{4}\right) = \frac{3}{4} \cdot 5.42 = 4.07b$$



* combinaison $0.8G+S_{th}$

$$\sigma_i = \frac{2 \times 4368.51}{181.46} = 4.81$$

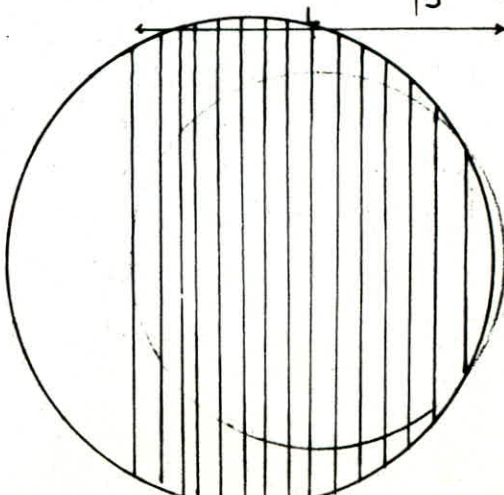
$$\sigma\left(\frac{l}{4}\right) = \frac{3}{4} \cdot 4.81 = 4.07b < 5.25b$$

Verification de la rigidité

$$d \leq 2ht$$

$$d = \frac{16.6}{2} = 5 = 2ht$$

donc le radier est rigide



Calcul de la plaque de fondation.

Nous avons opté, en guise de fondation, pour un radier général circulaire, le dernier de calculera par la "théorie des plaques et coques" de TIMOSHENKO.

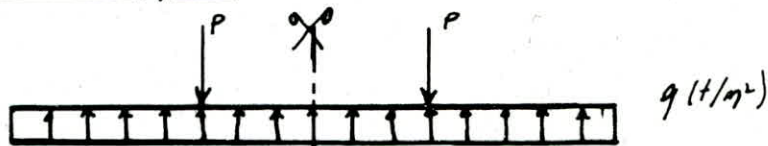
Le radier sera assimilé à une plaque fonctionnant en plancher renversé, uniformément chargé par la réaction du sol et simplement appuyé sur un cercle de conférence.

$$\frac{\sigma_{\max} (\text{2^{me} genre})}{\sigma_{\max} (\text{1^{er} genre})} = \frac{4.85}{2.60} = 1.87 > 1.50 = \frac{\sigma_a (\text{2^{me} genre})}{\sigma_a (\text{1^{er} genre})}$$

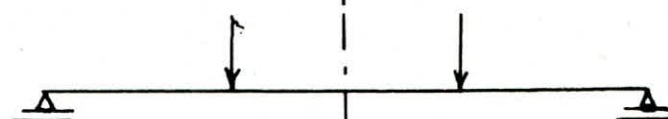
Donc nous ne tiendrons compte que de la contrainte sous sollicitations du 2^{me} genre.
Le radier sera soumis à une contrainte uniformément répartie de $q = 4.85 \text{ bars} = 48.5 \text{ t/m}^2$

Evaluation des efforts

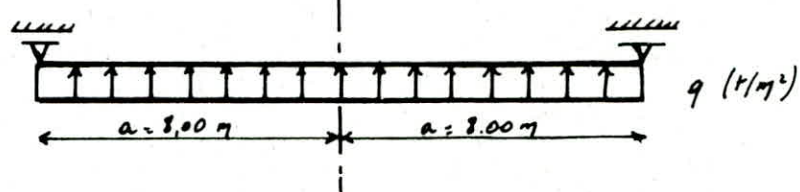
cas ①



cas ②



cas ③



$$\text{Cas 1} = \text{cas 2} + \text{cas 3}$$

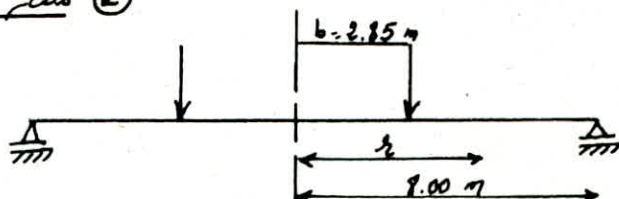
Nous avons donc décomposé le cas ① qui est le plus réel en deux cas que nous traiterons séparément.

Les efforts résultants des deux cas (2), (3) se superposent pour donner les efforts finaux pour lesquels le ferrailage du radier s'effectuera.

Valeur de P

$$\pi a^2 q = 2\pi b P \longrightarrow P = q \frac{a^2}{2b} \text{ (charg/ml)}$$

Etude du cas ②



On désignons par : M_r : moment fléchissant radial
 M_{tp} : " tangential

Nous aurons :

* pour $0 \leq r \leq b$

avec

$$\beta = b/a$$

$$f = r/a$$

$\mu = 0.15$ (Beton armé)

$$M_r = M_\varphi = 9 \frac{a^2}{8} [(1-\mu)(1-\beta^2) - 2(1+\mu) \log \beta]$$

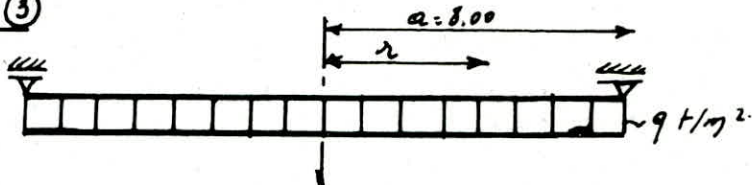
* pour $b \leq r \leq a$

$$M_r = 9 \frac{a^2}{8} [(1-\mu)\beta^2(1/\rho_2 - 1) - 2(1+\mu) \log \beta]$$

$$M_\varphi = 9 \frac{a^2}{8} [(1-\mu)[2\cdot\beta^2(1/\rho_2 + 1) - 2 \log \beta \cdot (1+\mu)]]$$

pour $r=a \rightarrow M_r=0$

Etude du cas ③



donc : $M_r = 9 \frac{a^2}{16} [(3+\mu)(1-\beta^2)]$

$$M_\varphi = 9 \frac{a^2}{16} [(3+\mu) - (1+3\mu)f_2]$$

$$a = 8.00 \text{ m}$$

$$\mu = 0.15$$

$$b = 2.85 \text{ m}$$

$$q = 48.5 \text{ t/m}^2$$

$$\beta = \frac{b}{a} = 0.356$$

Les résultats de calcul numérique sont rangés dans le tableau récapitulatif suivant.

Moment radiaux

$$(b + \frac{a-b}{2}) \rightarrow$$

		Mr ($\text{t.m}/\text{m.l}$)	
$r(\text{m})$	$f = r/a$	cas ①	cas ③
$r=0$	0	1209.70	611.10
$r=b=2.85$	$f=\beta=0.356$	1209.70	533.65
$r=5.425$	0.678	395.98	330.19
$r=a=8.00$	1	0	0

Moment tangentiels

		M _φ ($\text{t.m}/\text{m.l}$)	
$r(\text{m})$	$f = r/a$	cas ①	cas ③
0	0	1209.70	611.10
2.85	0.356	1209.70	575.45
5.425	0.678	821.65	417.79
8.00	1	576.00	329.80

Diagramme des moments radiaux (M_r)

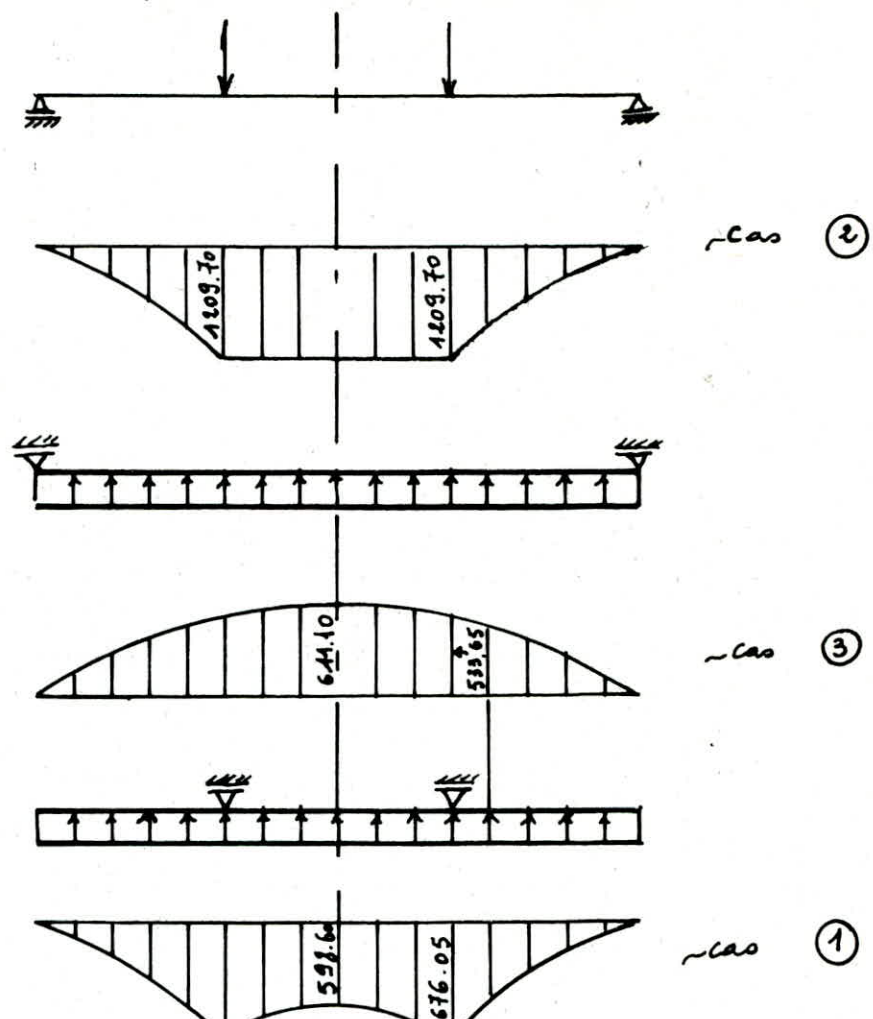
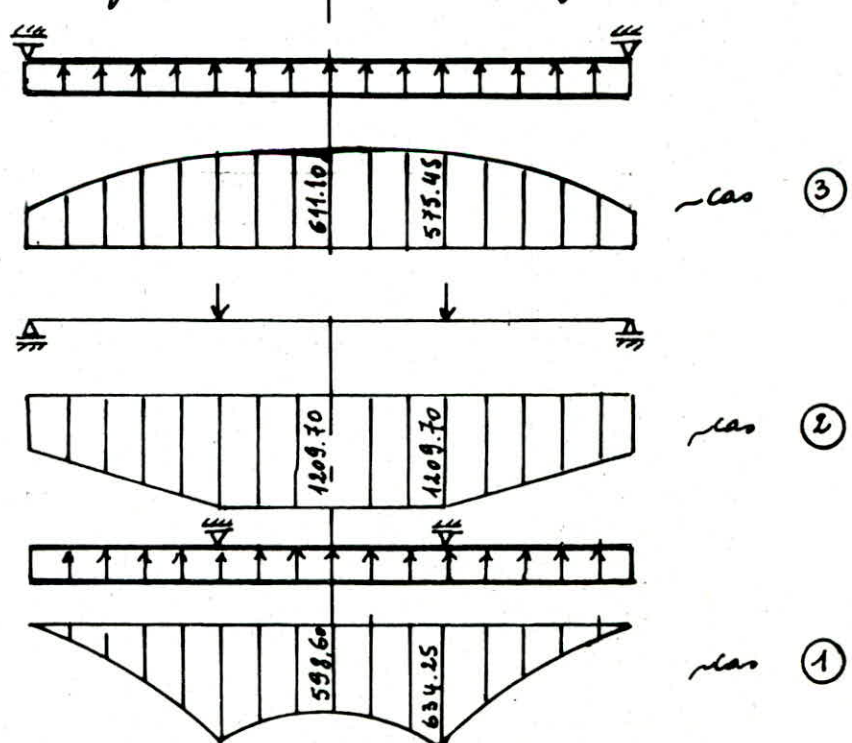


Diagramme des moments tangentiels



ferraillage inférieur

on utilise la méthode de P. Charron

a/ Armatures radiales

La section d'armatures radiales est donnée par :

$$A_r = \frac{M_r}{\bar{\sigma}_a E h} \quad \text{avec} \quad M_r = 676.05 \text{ t.m / m.l}$$

$$\bar{\sigma}_a = 4000 \text{ kg/cm}^2 \quad (\text{2ème genre } \phi 20 \text{ mm})$$

$$b = 100 \text{ cm}$$

$$h = 245 \text{ cm}$$

$$M_r = \frac{15 M_r}{\bar{\sigma}_a \cdot b h^2} = \frac{15 \cdot 676.05}{4000 \cdot 100 \cdot 245}$$

$$\mu = 0.0422 \quad \left\{ \begin{array}{l} E = 0.9129 \\ K = 43.4 \end{array} \right.$$

$$A_r = \frac{676.05 10^5}{4000 \cdot 0.9129 \cdot 245} = 75.57 \text{ cm}^2/\text{m.l}$$

Soit $10 T 32 / \text{m.l}$ ($80.42 \text{ cm}^2/\text{m.l}$)

La contrainte de compression dans le béton est :

$$\bar{\sigma}_b' = \frac{4000}{43.4} = 94.34 \text{ kg/cm}^2 < (\bar{\sigma}_b')_2$$

b/ Armatures tangentielles (cercles)

$$A_\varphi = \frac{M_\varphi}{\bar{\sigma}_a E h} \quad \text{avec} \quad M_\varphi = 634.25 \text{ t.m / m.l}$$

$$\bar{\sigma}_a = 0 \text{ cm} = 4000 \text{ kg/cm}^2$$

$$b = 100 \text{ cm}$$

$$h = 245 - 3.2 - \frac{3.2}{2} = 240.2 \text{ cm}$$

$$\mu = 0.0412 \quad \left\{ \begin{array}{l} E = 0.9138 \\ K = 43.0 \end{array} \right.$$

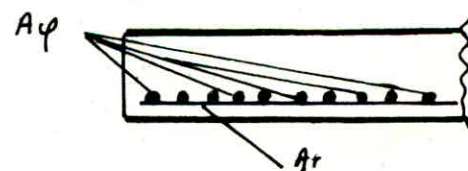
$$A_\varphi = \frac{634.25 10^5}{4000 \cdot 0.9138 \cdot 240.2} = 72.24 \text{ cm}^2/\text{m.l}$$

Soit $10 T 32 / \text{m.l}$ ($80.42 \text{ cm}^2/\text{m.l}$)

La contrainte de compression dans le béton est :

$$\bar{\sigma}_b' = \frac{4000}{43} = 93.02 \text{ kg/cm}^2 < (\bar{\sigma}_b')_2$$

A _r : 10 T 32 fm.l
A _φ : 10 T 32 / m.l



Vérification de la fondation à l'effort tranchant

Etude du cas ②

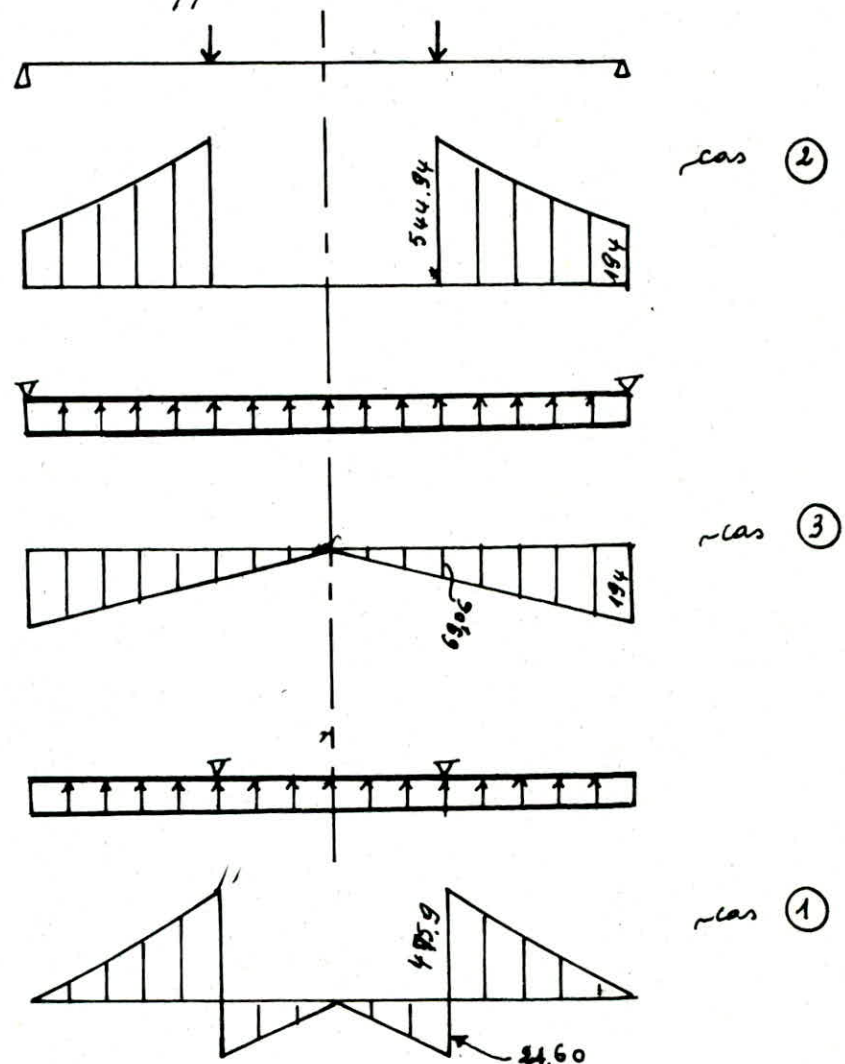
$$0 \leq r \leq b \quad Tr = 0$$

$$b \leq r \leq a \quad Tr = P \beta \frac{1}{f} = 9 \frac{\alpha^2}{2b} \frac{b}{a} \frac{1}{f} = 9 \frac{\alpha}{2f} \text{ (N/m²)}$$

Etude du cas ③

$$Tr = -0.5 q a f \text{ (par mètre)}$$

Diagramme de l'effort tranchant (en t/m)



$$\text{Donc } Tr_{\max} = 485.88 \text{ t/m}$$

Contrainte de cisaillement du béton :

$$\tau_b = \frac{T}{b \cdot z} = \frac{485.88 \cdot 10^3}{100 \cdot 7 / 2.45} = 22.49 \text{ kg/cm}^2$$

$$\bar{\tau}_b = 3.5 \times f = 24.5 \text{ kg/cm}^2$$

d'où l'effort tranchant est vérifié

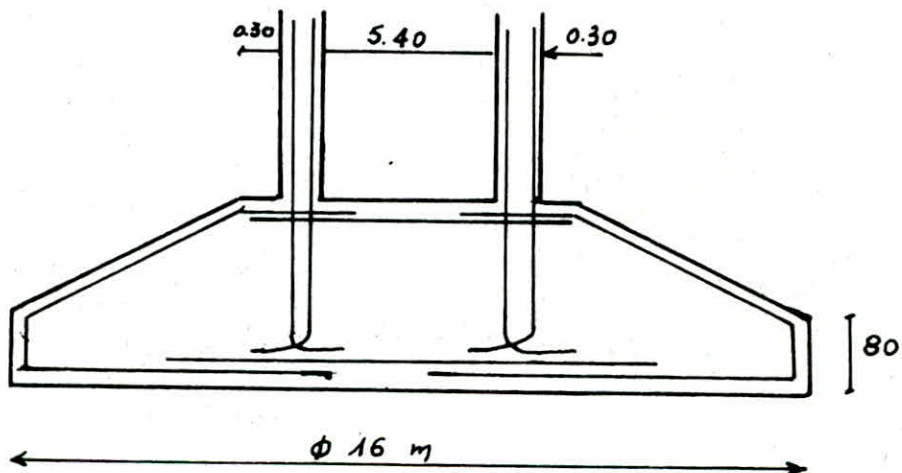
Entrainement des armatures radiales

$$\tau_d = \frac{T}{P \cdot z} \quad p = 10 \times \pi \cdot 3.2 = 100.53 \text{ cm} \Rightarrow \tau_d = 22.08 \text{ kg/cm}^2$$

$$\Rightarrow \tau_d < 3.75 \bar{\sigma}_b \quad \text{Vérifié}$$

on dispose également à la partie supérieure du radier des armatures de constructions qui auront pour rôle de s'opposer au retrait vu que la masse importante de béton.

De servir de support aux barres longitudinales de la tour. D'équilibrer d'éventuels efforts de traction
on prend $A_r = 5 H A 16 / m l$
 $A_\varphi = 5 H A 14 / m l$



CONCLUSION

En conclusion, on peut dire que, un projet de fin d'étude est une synthèse de toutes connaissances acquises le long de la scolarité. Une mise en évidence et en application de celles-ci à un cas spécifique. C'est aussi le passage du cycle académique (théorie) au cycle pratique.

On a appliquée les connaissances à un château d'eau qui est considéré comme un ouvrage d'art dont le principale objectif a été de calculer les éléments résistants. Malgré les diverses difficultés rencontrées le long de notre travail qui nous ont amené soit à reconcevoir partiellement le projet, soit à ajouter ou modifier certains éléments indispensables.

Nous avons constaté deux éléments importants. Le phénomène hydrodynamique à des effets non négligeables sur la structure qu'il faut le prendre en compte dans les calculs pour les réservoirs ou château d'eau de grande capacité. Il est souhaitable de faire une étude plus poussée sur ce phénomène.

Le choix de la fondation nous a conduits à prévoir un radier au lieu d'une simple anseulaire même si les dimensions paraissaient énormes, dans ce choix est judicieux on peut solutionner ce choix par un radier à caisson à celui-ci s'avère économique.

Bibliographie

1. Traité de B.A Tome 6 (A. GUERRIN)
2. Théorie des plaques et coques (TIMOSHENKO)
3. Calcul des plaques (R. BARES)
4. Calcul pratique des tours en B.A (M. DIVER)
5. Calcul et vérification des ouvrages en B.A (R. CHARRON)
6. Cahier des charges applicable à la construction
des cuves et réservoirs en B.A (Annales I.T.B.T.P.)
7. Calcul pratique de réservoirs en zone sismique
(V. DAVIDOVICI et A. HADDAOUI - Annales I.T.B.T.P N° 409)
8. Annales de l'I.T.B.T.P N° 306 Juin 1973
9. Annales de l'I.T.B.T.P N° 280 Avril 1971
10. Cours de Béton Armé Tome II (M. Belaïdougui)
11. Conception et calcul des structures soumises
aux séismes. (RILI - SALTI - DOUDI)
12. Règles :
C.C.B.A 68
R.P.A 81
N.V 65
D.T.U

